

## 第 1 章

# トポロジー導関数の定義

### 1.1 トポロジー導関数の定義

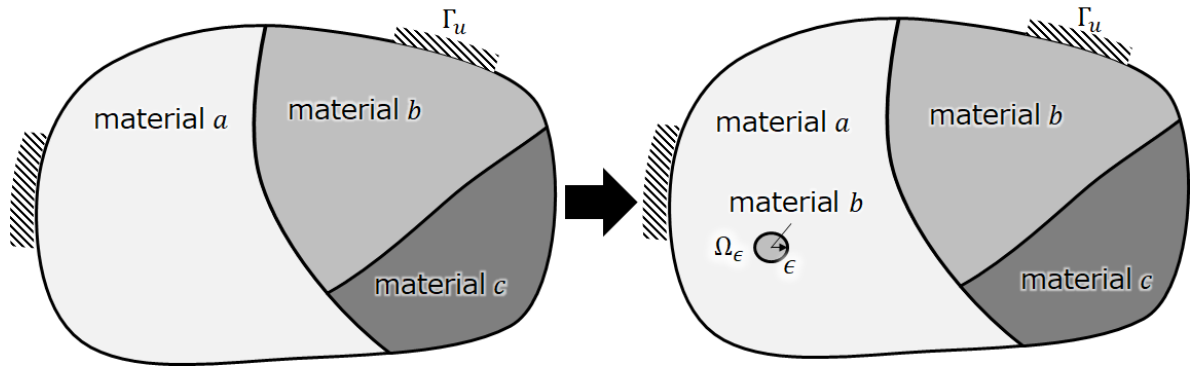


Fig.1.1 Definition of topological derivative

トポロジー導関数は設計領域中で定義される関数で、各点  $\mathbf{x}$  を中心とする微小な円領域が、別の材料に置き換わった時の目的関数の感度を表す．図 1.1 のように、材料  $a$  の占める領域中の位置  $\mathbf{x} = \mathbf{z}$  を中心とする微小な円領域に、材料  $b$  が生じた際のトポロジー導関数  $D_T F^{a \rightarrow b}(\mathbf{z})$  は以下のように定義される．

$$D_T F^{a \rightarrow b}(\mathbf{z}) = \lim_{\epsilon \rightarrow 0} \frac{\delta F^{a \rightarrow b}(\mathbf{z})}{g(\epsilon)} \quad (1.1)$$

ここで、 $\delta F^{a \rightarrow b}$  は目的関数の変化、 $g(\epsilon)$  は極限值が存在するように定義される  $\epsilon$  の関数である．一般的に次式のように  $\Omega_\epsilon$  の測度で定義される．

$$g(\epsilon) = \pi \epsilon^2 \quad (\text{for 2D}) \quad (1.2)$$

$$= \frac{3}{4} \pi \epsilon^3 \quad (\text{for 3D}) \quad (1.3)$$

## 1.2 Topological-Shape Sensitivity Method

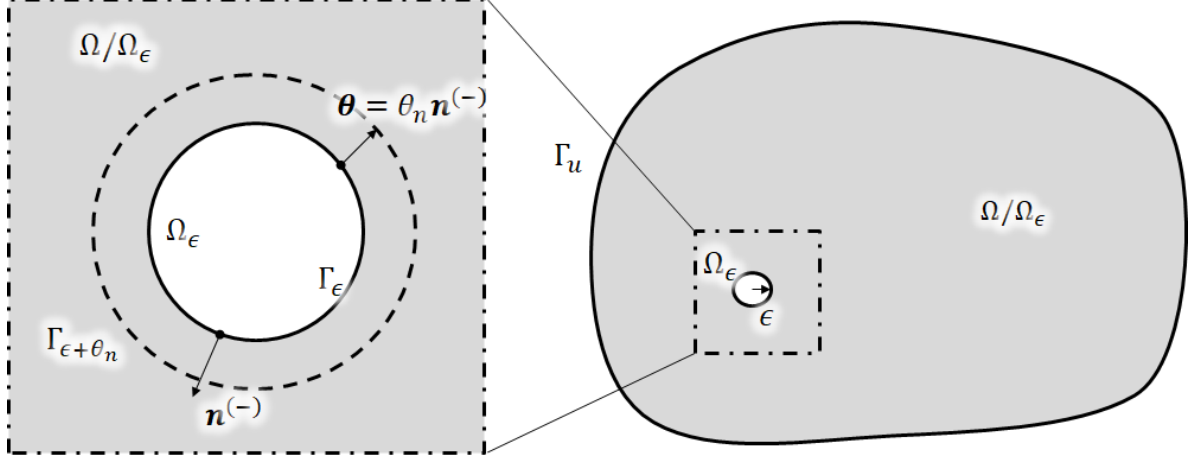


Fig.1.2 Concept of Topological-Shape Sensitivity Method

Novotny et al. は形状微分の極限をとることでトポロジー導関数を導出する方法を提案した。形状微分とは構造の境界が微量量移動した時の目的関数の感度である。

$\theta(\mathbf{x})$  方向に形状が微小変動するとき、領域写像  $\psi_s(\mathbf{x})$  は次式のように表される。

$$\psi_s(\mathbf{x}) = \mathbf{x} + s\theta(\mathbf{x}) \quad (1.4)$$

この時、形状微分  $DF(\Omega) \cdot \theta$  は以下のように定義される。

$$DF(\Omega) \cdot \theta = \frac{d}{ds} F(\psi_s(\Omega)) \quad (1.5)$$

図 1.2 のように半径  $\epsilon$  の空洞  $\Omega_\epsilon$  が物体領域  $\Omega/\Omega_\epsilon$  内向き法線  $\mathbf{n}^{(-)}$  方向に膨張する時、つまり

$$\theta = \theta_n \mathbf{n}^{(-)} \quad \text{on } \Gamma_\epsilon \quad (1.6)$$

$$\theta = \mathbf{0} \quad \text{on } \Gamma/\Gamma_\epsilon \quad (1.7)$$

となる時の形状微分を考える。  $\theta_n$  は正の値をとる定数である。トポロジー導関数は以下のように  $\epsilon \rightarrow 0$  の極限をとることで得られる。

$$D_T F = \lim_{\epsilon \rightarrow 0} \frac{1}{g'(\epsilon)|\theta_n|} (DF \cdot \theta)(\epsilon) \quad (1.8)$$

ただし、  $g'(\epsilon)$  は  $g(\epsilon)$  の  $\epsilon$  に関する微分を表す。このような、形状微分に基づくトポロジー導関数の導出方法を Topological-Shape Sensitivity Method と呼び、以下のプロセスで導出す

る．まず，形状微分  $DF \cdot \theta$  を求める．次に， $\epsilon \rightarrow 0$  とした時の状態場や随伴場の漸近的な振る舞いを調べる．その結果を式 (1.8) に代入することでトポロジー導関数を導出する．

## 第 2 章

# 弾性体の固有振動問題

### 2.1 固有振動問題の支配方程式

最大  $n$  個の材料を用いる場合を考える． $p$  番目 ( $1 \leq p \leq n$ ) の材料が占める領域を  $\Omega_p$ ， $p$  番目の材料と  $q$  番目の材料の境界を  $\Gamma_{pq}$  とする．固有値  $\lambda$  とそれに対応する固有振動モード  $\mathbf{u}$  は以下の支配方程式に従う．

$$C_{ijkl}^p u_{k,lj} + \lambda \rho^p u_i = 0 \quad \text{in } \Omega_p \quad (2.1)$$

$$u_i = 0 \quad \text{on } \Gamma_D \quad (2.2)$$

$$C_{ijkl} u_{k,l} n_j = 0 \quad \text{on } \Gamma_N \quad (2.3)$$

$$u_i^p = u_i^q \quad \text{on } \Gamma_{pq} \quad (2.4)$$

$$C_{ijkl}^p u_{k,l}^p n_j^p + C_{ijkl}^q u_{k,l}^q n_j^q = 0 \quad \text{on } \Gamma_{pq} \quad (2.5)$$

$$\sum_{p=1}^n \int_{\Omega_p} (\rho^p u_i u_i) d\Omega = 1 \quad (2.6)$$

ただし， $C_{ijkl}$  は弾性テンソル， $\rho$  は質量密度を表す．

### 2.2 固有振動数最大化問題の目的関数

1 番目から  $\alpha$  番目までの固有振動数の最大化を目的とする場合，目的関数は以下のように， $\alpha$  番目までの固有値の調和平均の形で定義される．

$$\min_{\Omega_p \{1 \leq p \leq n\}} F = - \left( \sum_{\beta=1}^{\alpha} \frac{1}{\lambda_{\beta}} \right)^{-1} \quad (2.7)$$

ただし， $\lambda_{\beta}$  は  $\beta$  番目の固有値を表す． $\alpha$  個の固有値の内，小さいものから順に目的関数への影響が大きいため，この目的関数を最小化することで小さい固有値から優先的に最大化される．

この目的関数のトポロジー導関数は連鎖率から以下のように表される.

$$\begin{aligned} D_T F &= \sum_{\beta=1}^{\alpha} \frac{\partial F}{\partial \lambda_{\beta}} D_T \lambda_{\beta} \\ &= - \left( \sum_{\beta=1}^{\alpha} \frac{1}{\lambda_{\beta}} \right)^{-2} \left( \sum_{\beta=1}^{\alpha} \frac{D_T \lambda_{\beta}}{\lambda_{\beta}^2} \right) \end{aligned} \quad (2.8)$$

ゆえに, 固有値  $\lambda$  のトポロジー導関数を導出することで, 目的関数のトポロジー導関数が得られる.

## 第 3 章

# 形状微分

### 3.1 形状微分の公式

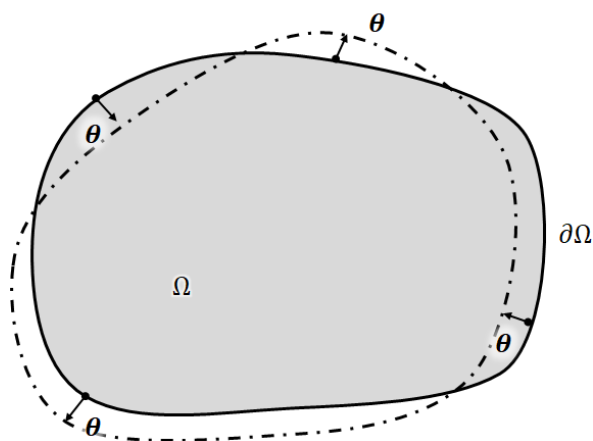


Fig.3.1 Deformation in  $\theta$  direction

形状微分には以下のような公式が存在する。

汎関数  $J$  が積分領域  $\Omega$  に依存しない密度関数  $f$  の領域積分によって、次式のように表され  
るとする。

$$J = \int_{\Omega} f d\Omega \quad (3.1)$$

この時、 $J$  の形状微分は次式で得られる。

$$DJ \cdot \theta = \int_{\Gamma} (\theta_i n_i) f d\Omega \quad (3.2)$$

ただし、 $\mathbf{n}$  は  $\Gamma$  上の外向きの単位法線ベクトルを表す。

次に、汎関数  $J$  が密度関数  $f$  の境界積分によって、次式のように表される場合を考える。

$$J = \int_{\Gamma} f d\Gamma \quad (3.3)$$

この時、 $J$  の形状微分は次式で得られる。

$$DJ \cdot \theta = \int_{\Gamma} (\theta_i n_i) \left( \frac{\partial f}{\partial x_j} n_j + H f \right) d\Omega \quad (3.4)$$

ただし、 $H \equiv \text{div} \mathbf{n}$  は  $\Gamma$  の平均曲率を表す。

公式 (3.2),(3.4) はいずれも密度関数  $f$  が積分領域に依存しないことが条件であることに注意が必要である。

## 3.2 ラグランジアンの変式化

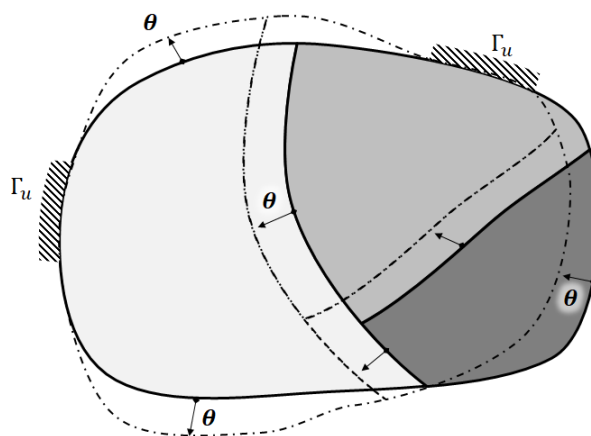


Fig.3.2 Shape derivative

ラグランジアンを以下のように定式化する.

$$\begin{aligned}
\mathcal{L}(\Omega_{p\{1 \leq p \leq n\}}; \mathbf{U}, X, \mathbf{V}, Y) = & X + \sum_{p=1}^n \int_{\Omega_p} \left( V_{i,j} C_{ijkl}^p U_{k,l} - X \rho^p V_i U_i \right) d\Omega \\
& - \sum_{p=1}^{n-1} \sum_{p=q}^n \int_{\Gamma_{pq}} \frac{1}{2} \left( C_{ijkl}^p U_{k,l}^p n_j^p - C_{ijkl}^q U_{k,l}^q n_j^q \right) (V_i^p - V_i^q) d\Gamma \\
& - \sum_{p=1}^{n-1} \sum_{p=q}^n \int_{\Gamma_{pq}} \frac{1}{2} \left( V_{i,j}^p C_{ijkl}^p n_l^p - V_{i,j}^q C_{ijkl}^q n_l^q \right) (U_k^p - U_k^q) d\Gamma \\
& - \sum_{p=1}^n \int_{\Gamma_{pu}} \left( C_{ijkl}^p U_{k,l}^p n_j^p \right) (V_i^p) d\Gamma \\
& - \sum_{p=1}^n \int_{\Gamma_{pu}} \left( V_{i,j}^p C_{ijkl}^p n_l^p \right) (U_k^p) d\Gamma \\
& + Y \left\{ 1 - \sum_{p=1}^n \int_{\Omega_p} (\rho^p U_i U_i) d\Omega \right\} \tag{3.5}
\end{aligned}$$

$\mathbf{U}, X$  はそれぞれ状態変数  $\mathbf{u}, \lambda$  に対応する変数,  $\mathbf{V}, Y$  はラグランジュ乗数である. ここで,  $\mathbf{u}$  や  $\lambda$  が領域  $\Omega_p$  に依存する関数であるのに対し,  $\mathbf{U}, X, \mathbf{V}, Y$  は  $\Omega_p$  に依存しない関数であることに注意が必要である.

ラグランジアン (3.5) に対し,  $\mathbf{V}$  に関して部分積分を行うと

$$\begin{aligned}
\mathcal{L}(\Omega_{p\{1 \leq p \leq n\}}; \mathbf{U}, X, \mathbf{V}, Y) = & X - \sum_{p=1}^n \int_{\Omega_p} \left( C_{ijkl}^p U_{k,lj} + X \rho^p U_i \right) V_i d\Omega \\
& + \sum_{p=1}^{n-1} \sum_{p=q}^n \int_{\Gamma_{pq}} \frac{1}{2} \left( C_{ijkl}^p U_{k,l}^p n_j^p + C_{ijkl}^q U_{k,l}^q n_j^q \right) (V_i^p - V_i^q) d\Gamma \\
& - \sum_{p=1}^{n-1} \sum_{p=q}^n \int_{\Gamma_{pq}} \frac{1}{2} \left( V_{i,j}^p C_{ijkl}^p n_l^p - V_{i,j}^q C_{ijkl}^q n_l^q \right) (U_k^p - U_k^q) d\Gamma \\
& + \sum_{p=1}^n \int_{\Gamma_{pN}} \left( C_{ijkl}^p U_{k,l}^p n_j^p \right) (V_i^p) d\Gamma \\
& - \sum_{p=1}^n \int_{\Gamma_{pu}} \left( V_{i,j}^p C_{ijkl}^p n_l^p \right) (U_k^p) d\Gamma \\
& + Y \left\{ 1 - \sum_{p=1}^n \int_{\Omega_p} (\rho^p U_i U_i) d\Omega \right\} \tag{3.6}
\end{aligned}$$

状態方程式 (2.1)~(2.6) より,  $\mathbf{U} = \mathbf{u}(\Omega_{p\{1 \leq p \leq n\}})$ ,  $X = \lambda(\Omega_{p\{1 \leq p \leq n\}})$  とすれば, 任意の



$V, Y$  に対して次式が成立することがわかる.

$$\mathcal{L}(\Omega_{p\{1 \leq p \leq n\}}; \mathbf{u}, \lambda, \mathbf{U}, Y) = \lambda(\Omega_{p\{1 \leq p \leq n\}}) \quad (3.7)$$

### 3.3 ラグランジアン の 停留条件

式 (3.7) より,  $\lambda(\Omega_{p\{1 \leq p \leq n\}})$  の形状微分は次式のように表される.

$$\begin{aligned} D\lambda(\Omega_{p\{1 \leq p \leq n\}}) \cdot \boldsymbol{\theta} &= D\mathcal{L}(\Omega_{p\{1 \leq p \leq n\}}; \mathbf{u}, \lambda, \mathbf{V}, Y) \cdot \boldsymbol{\theta} \\ &\quad + \left\langle \frac{\partial \mathcal{L}}{\partial \mathbf{V}}(\Omega_{p\{1 \leq p \leq n\}}; \mathbf{u}, \lambda, \mathbf{V}, Y), \delta \mathbf{u} \right\rangle \\ &\quad + \frac{\partial \mathcal{L}}{\partial X}(\Omega_{p\{1 \leq p \leq n\}}; \mathbf{u}, \lambda, \mathbf{V}, Y) \cdot \delta \lambda \end{aligned} \quad (3.8)$$

ここで,  $\delta \mathbf{u}$  および  $\delta \lambda$  はそれぞれ状態場  $\mathbf{u}$  および  $\lambda$  の変分である.  $\mathbf{u}$  および  $\lambda$  が状態方程式を介して領域  $\Omega_p$  に依存しているため, 連鎖率によって上式の右辺第2項および第3項が生じている. しかし,  $\delta \mathbf{u}$  および  $\delta \lambda$  は導出することが困難であるため, それらの計算を回避するためにラグランジアン の 停留条件を考える.

$$\left\langle \frac{\partial \mathcal{L}}{\partial \mathbf{U}}, \delta \mathbf{U} \right\rangle \Big|_{opt} = 0 \quad (3.9)$$

$$\frac{\partial \mathcal{L}}{\partial X} \Big|_{opt} = 0 \quad (3.10)$$

$$\left\langle \frac{\partial \mathcal{L}}{\partial \mathbf{V}}, \delta \mathbf{V} \right\rangle \Big|_{opt} = 0 \quad (3.11)$$

$$\frac{\partial \mathcal{L}}{\partial Y} \Big|_{opt} = 0 \quad (3.12)$$

まず, 式 (3.11), (3.12) に関しては, 式 (3.6) より次式のようになる.

$$\begin{aligned}
0 &= \left\langle \frac{\partial \mathcal{L}}{\partial \mathbf{V}}, \delta \mathbf{V} \right\rangle \Big|_{opt} \\
&= \sum_{p=1}^n \int_{\Omega_p} \left( C_{ijkl}^p U_{k,lj} + X \rho^p U_i \right) \delta V_i d\Omega \\
&\quad + \sum_{p=1}^{n-1} \sum_{q=p+1}^n \int_{\Gamma_{pq}} \frac{1}{2} \left( C_{ijkl}^p U_{k,l}^p n_j^p + C_{ijkl}^q U_{k,l}^q n_j^q \right) (\delta V_i^p - \delta V_i^q) d\Gamma \\
&\quad - \sum_{p=1}^{n-1} \sum_{q=p+1}^n \int_{\Gamma_{pq}} \frac{1}{2} \left( \delta V_{i,j}^p C_{ijkl}^p n_l^p - \delta V_{i,j}^q C_{ijkl}^q n_l^q \right) (U_k^p - U_k^q) d\Gamma \\
&\quad + \sum_{p=1}^n \int_{\Gamma_{pN}} \left( U_{i,j}^p C_{ijkl}^p n_l^p \right) (\delta V_i^p) d\Gamma \\
&\quad - \sum_{p=1}^n \int_{\Gamma_{pu}} \left( \delta V_{i,j}^p C_{ijkl}^p n_l^p \right) (U_k^p) d\Gamma
\end{aligned} \tag{3.13}$$

$$0 = \frac{\partial \mathcal{L}}{\partial Y} \Big|_{opt} = 1 - \sum_{p=1}^n \int_{\Omega_p} (\rho^p U_i U_i) d\Omega \tag{3.14}$$

上式と状態方程式 (2.1)~(2.6) との比較から,  $\mathbf{U} = \mathbf{u}(\Omega_{p\{1 \leq p \leq n\}})$ ,  $X = \lambda(\Omega_{p\{1 \leq p \leq n\}})$  の時, 任意の  $\delta \mathbf{V}$  に対して停留条件 (3.11), (3.12) が成立することがわかる.

$\mathbf{V} = \mathbf{v}(\Omega_{p\{1 \leq p \leq n\}})$ ,  $Y = \eta(\Omega_{p\{1 \leq p \leq n\}})$  が  $\mathbf{U}, X$  に関する停留条件 (3.9), (3.10) を満たすとする,  $\lambda$  の形状微分は以下のように表される.

$$\begin{aligned}
D\lambda(\Omega_{p\{1 \leq p \leq n\}}) \cdot \boldsymbol{\theta} &= D\mathcal{L}(\Omega_{p\{1 \leq p \leq n\}}; \mathbf{u}, \lambda, \mathbf{v}, \eta) \cdot \boldsymbol{\theta} \\
&\quad + \left\langle \frac{\partial \mathcal{L}}{\partial \mathbf{U}}(\Omega_{p\{1 \leq p \leq n\}}; \mathbf{u}, \lambda, \mathbf{v}, \eta), \delta \mathbf{u} \right\rangle \\
&\quad + \frac{\partial \mathcal{L}}{\partial X}(\Omega_{p\{1 \leq p \leq n\}}; \mathbf{p}, \lambda, \mathbf{v}, \eta) \cdot \delta \lambda \\
&\quad + \left\langle \frac{\partial \mathcal{L}}{\partial \mathbf{V}}(\Omega_{p\{1 \leq p \leq n\}}; \mathbf{u}, \lambda, \mathbf{v}, \eta), \delta \mathbf{v} \right\rangle \\
&\quad + \frac{\partial \mathcal{L}}{\partial Y}(\Omega_{p\{1 \leq p \leq n\}}; \mathbf{p}, \lambda, \mathbf{v}, \eta) \cdot \delta \eta \\
&= D\mathcal{L}(\Omega_{p\{1 \leq p \leq n\}}; \mathbf{u}, \lambda, \mathbf{v}, \eta) \cdot \boldsymbol{\theta}
\end{aligned} \tag{3.15}$$

ここで, 上式の中辺第2項から第5項が停留条件 (3.9)~(3.12) より, 任意の  $\delta \mathbf{u}, \delta \lambda, \delta \mathbf{v}, \delta \eta$  に対して 0 になることを用いた. 式 (3.15) より, ラグランジアン の形状微分の式に  $\mathbf{U} = \mathbf{u}, X = \lambda, \mathbf{V} = \mathbf{v}, Y = \eta$  を代入することで, 固有値  $\lambda$  の形状微分が得られることが分かる.

### 3.4 随伴方程式

続いて,  $\mathbf{U}, X$  に関する停留条件 (3.9), (3.10) をみたすような,  $\mathbf{V} = \mathbf{v}(\Omega_{p\{1 \leq p \leq n\}}), Y = \eta(\Omega_{p\{1 \leq p \leq n\}})$  の条件について考える.

ラグランジアン (3.5) に対し,  $\mathbf{U}$  に関して部分積分を行うと

$$\begin{aligned}
 \mathcal{L}(\Omega_{p\{1 \leq p \leq n\}}; \mathbf{U}, X, \mathbf{V}, Y) = & X - \sum_{p=1}^n \int_{\Omega_p} \left( V_{i,jl} C_{ijkl}^p + X \rho^p V_k \right) U_k d\Omega \\
 & - \sum_{p=1}^{n-1} \sum_{p=q}^n \int_{\Gamma_{pq}} \frac{1}{2} \left( C_{ijkl}^p U_{k,l}^p n_j^p - C_{ijkl}^q U_{k,l}^q n_j^q \right) (V_i^p - V_i^q) d\Gamma \\
 & + \sum_{p=1}^{n-1} \sum_{p=q}^n \int_{\Gamma_{pq}} \frac{1}{2} \left( V_{i,j}^p C_{ijkl}^p n_l^p + V_{i,j}^q C_{ijkl}^q n_l^q \right) (U_k^p - U_k^q) d\Gamma \\
 & + \sum_{p=1}^n \int_{\Gamma_{pN}} \left( V_{i,j}^p C_{ijkl}^p n_l^p \right) (U_k^p) d\Gamma \\
 & - \sum_{p=1}^n \int_{\Gamma_{pu}} \left( C_{ijkl}^p U_{k,l}^p n_j^p \right) (V_i^p) d\Gamma \\
 & + Y \left\{ 1 - \sum_{p=1}^n \int_{\Omega_p} (\rho^p U_i U_i) d\Omega \right\}
 \end{aligned} \tag{3.16}$$

となるため, 停留点における  $\mathbf{V}$  および  $Y$  をそれぞれ  $\mathbf{v}$ ,  $\eta$  とすると, 式 (3.9), (3.10) は以下のようになる.

$$\begin{aligned}
 0 = & \left\langle \frac{\partial \mathcal{L}}{\partial \mathbf{U}}, \delta \mathbf{U} \right\rangle \Big|_{opt} \\
 = & \sum_{p=1}^n \int_{\Omega_p} \left( v_{k,lj} C_{ijkl}^p + \lambda \rho^p v_i + 2\eta \rho^p u_i \right) \delta U_i d\Omega \\
 & - \sum_{p=1}^{n-1} \sum_{p=q}^n \int_{\Gamma_{pq}} \frac{1}{2} \left( \delta U_{i,j}^p C_{ijkl}^p n_l^p - \delta U_{i,j}^q C_{ijkl}^q n_l^q \right) (v_k^p - v_k^q) d\Gamma \\
 & + \sum_{p=1}^{n-1} \sum_{p=q}^n \int_{\Gamma_{pq}} \frac{1}{2} \left( v_{k,l}^p C_{ijkl}^p n_j^p + v_{k,l}^q C_{ijkl}^q n_j^q \right) (\delta U_i^p - \delta U_i^q) d\Gamma \\
 & + \sum_{p=1}^n \int_{\Gamma_{pN}} \left( v_{k,l}^p C_{ijkl}^p n_j^p \right) \delta U_i^p d\Gamma \\
 & - \sum_{p=1}^n \int_{\Gamma_{pu}} \left( \delta U_{i,j}^p C_{ijkl}^p n_l^p \right) v_k^p d\Gamma
 \end{aligned} \tag{3.17}$$

$$0 = \left. \frac{\partial \mathcal{L}}{\partial X} \right|_{opt} = 1 - \sum_{p=1}^n \int_{\Omega_p} (\rho^p v_i u_i) d\Omega \quad (3.18)$$

ここで,  $C_{ijkl} = C_{klij}$  であることを用いて, 添え字を  $(i, j, k, l) \rightarrow (k, l, i, j)$  に変換した. 以上から,  $\mathbf{v}$ ,  $\eta$  が以下の随伴方程式を満たすとき, 停留条件 (3.9), (3.10) は成立する.

$$C_{ijkl}^p v_{k,lj} + \lambda \rho^p v_i + 2\eta \rho^p u_i = 0 \quad \text{in } \Omega_p \quad (3.19)$$

$$v_i = 0 \quad \text{on } \Gamma_D \quad (3.20)$$

$$C_{ijkl} v_{k,l} n_j = 0 \quad \text{on } \Gamma_N \quad (3.21)$$

$$v_i^p = v_i^q \quad \text{on } \Gamma_{pq} \quad (3.22)$$

$$C_{ijkl}^p v_{k,l}^p n_j^p + C_{ijkl}^q v_{k,l}^q n_j^q = 0 \quad \text{on } \Gamma_{pq} \quad (3.23)$$

$$\sum_{p=1}^n \int_{\Omega_p} (\rho^p v_i u_i) d\Omega = 1 \quad (3.24)$$

次に,  $\eta$  の値を求める. まず, 強形式の状態方程式 (2.1) に  $\mathbf{v}$  をかけ, 領域積分することで次式が得られる.

$$\sum_{p=1}^n \int_{\Omega_p} (v_{i,j} C_{ijkl}^p u_{k,l} - \lambda \rho^p v_i u_i) d\Omega = 0 \quad (3.25)$$

強形式の随伴方程式 (3.19) に  $\mathbf{u}$  をかけ, 領域積分することで次式が得られる.

$$\sum_{p=1}^n \int_{\Omega_p} (v_{i,j} C_{ijkl}^p u_{k,l} - \lambda \rho^p u_i v_i - 2\eta u_i v_i) d\Omega = 0 \quad (3.26)$$

式 (3.25) と式 (3.26) の差を取り, 正規化条件 (2.6) を用いることで以下のように  $\eta$  が求まる.

$$\eta \sum_{p=1}^n \int_{\Omega_p} (\rho^p u_i v_i) d\Omega = \eta = 0 \quad (3.27)$$

ゆえに, 随伴場の偏微分方程式 (3.19)~(3.23) は状態場の偏微分方程式 (2.1)~(2.5) と等しくなり, 随伴場  $\mathbf{v}$  は次式のように状態場  $\mathbf{u}$  の定数倍で与えられる.

$$\mathbf{v} = K \mathbf{u} \quad (3.28)$$

さらに, 状態場と随伴場の正規化条件 (2.6), (3.24) より, 次式のように  $K$  の値が求まる.

$$\begin{aligned} 1 &= \sum_{p=1}^n \int_{\Omega_p} (\rho^p u_i v_i) d\Omega \\ &= K \sum_{p=1}^n \int_{\Omega_p} (\rho^p u_i u_i) d\Omega \\ &= K \end{aligned} \quad (3.29)$$

ゆえに,  $\mathbf{u}$  と  $\mathbf{v}$  は等しい.

$$\mathbf{v} = \mathbf{u} \quad (3.30)$$

### 3.5 形状微分の公式の適用

式 (3.15) に式 (3.27), (3.30) を代入することで, 固有値  $\lambda$  の形状微分は次式のように表される.

$$D\lambda \cdot \boldsymbol{\theta} = D\mathcal{L}(\Omega_{p\{1 \leq p \leq n\}}; \mathbf{u}, \lambda, \mathbf{u}, 0) \cdot \boldsymbol{\theta} \quad (3.31)$$

形状微分の公式 (3.2), (3.4) を式 (3.31) のラグランジアン of 形状微分に適用し,  $\Gamma_u$  上で  $\boldsymbol{\theta} = \mathbf{0}$  を仮定すると次式が得られる.

$$\begin{aligned} D\lambda \cdot \boldsymbol{\theta} &= D\mathcal{L}(\Omega_{p\{1 \leq p \leq n\}}; \mathbf{u}, \lambda, \mathbf{u}, 0) \cdot \boldsymbol{\theta} \\ &= \sum_{p=1}^n \int_{\Gamma_p} (\theta_m n_m^p) \left( u_{i,j} C_{ijkl}^p u_{k,l} - \lambda \rho^p u_i u_i \right) d\Omega \\ &\quad - \sum_{p=1}^{n-1} \sum_{q=p+1}^n \int_{\Gamma_{pq}} (\theta_m n_m^p) \left( \frac{\partial}{\partial x_\gamma} n_\gamma^p + H^p \right) \left( C_{ijkl}^p u_{k,l}^p n_j^p - C_{ijkl}^q u_{k,l}^q n_j^q \right) (u_i^p - u_i^q) d\Gamma \end{aligned} \quad (3.32)$$

境界条件から  $\partial\Omega_{pq}$  上で  $\mathbf{u}^p = \mathbf{u}^q$  であることに注意すると, 固有値  $\lambda$  の形状微分は次式のように導出される.

$$\begin{aligned} D\lambda \cdot \boldsymbol{\theta} &= \sum_{p=1}^n \int_{\Gamma_p} (\theta_m n_m^p) \left( u_{i,j} C_{ijkl}^p u_{k,l} - \lambda \rho^p u_i u_i \right) d\Omega \\ &\quad - \sum_{p=1}^{n-1} \sum_{q=p+1}^n \int_{\Gamma_{pq}} (\theta_m n_m^p) \left( C_{ijkl}^p u_{k,l}^p n_j^p - C_{ijkl}^q u_{k,l}^q n_j^q \right) (u_{i,\gamma}^p n_\gamma^p - u_{i,\gamma}^q n_\gamma^q) d\Gamma \end{aligned} \quad (3.33)$$

## 第 4 章

# 固有振動モードの漸近展開

### 4.1 固有振動モードの変動に関する方程式

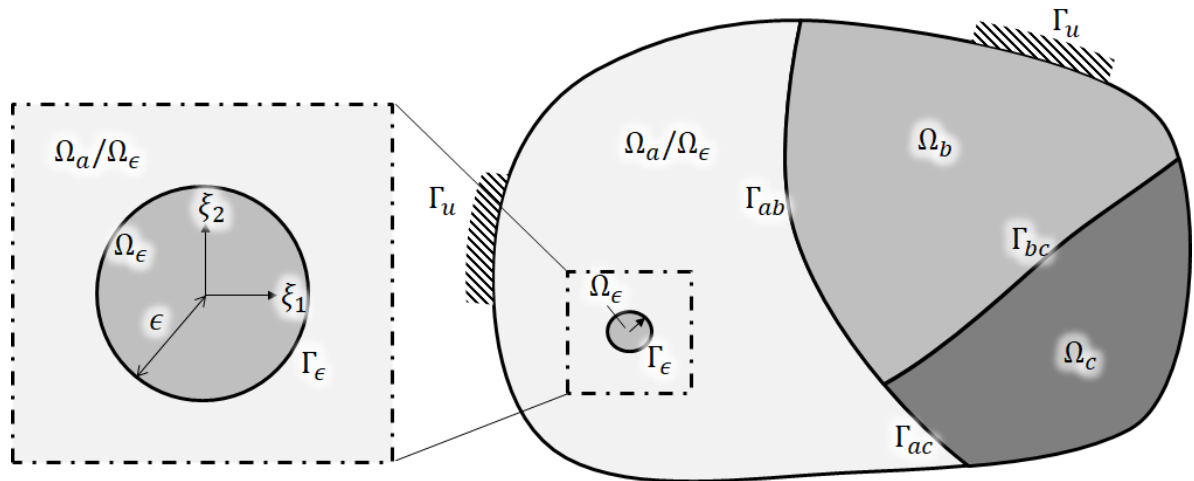


Fig.4.1 Emergence of a circular region

材料  $a$  で占められた領域  $\Omega_a$  中の微小な円領域  $\Omega_\epsilon$  に材料  $b$  が生成した際の、固有振動モード  $\mathbf{u}^\epsilon$  および固有値  $\lambda^\epsilon$  について考える。ただし、これによって固有振動モードの順番の変化

は起こらないと仮定する．この時の支配方程式は以下ようになる．

$$C_{ijkl}^b u_{k,lj}^\epsilon + \lambda^\epsilon \rho^b u_i^\epsilon = 0 \quad \text{in } \Omega_\epsilon \quad (4.1)$$

$$C_{ijkl}^a u_{k,lj}^\epsilon + \lambda^\epsilon \rho^a u_i^\epsilon = 0 \quad \text{in } \Omega_a \setminus \Omega_\epsilon \quad (4.2)$$

$$C_{ijkl}^p u_{k,lj}^\epsilon + \lambda^\epsilon \rho^p u_i^\epsilon = 0 \quad \text{in } \Omega_p \quad (p \neq a) \quad (4.3)$$

$$u_i^{\epsilon b} = u_i^{\epsilon a} \quad \text{on } \Gamma_\epsilon \quad (4.4)$$

$$C_{ijkl}^b u_{k,l}^{\epsilon b} n_j^b + C_{ijkl}^a u_{k,l}^{\epsilon a} n_j^a = 0 \quad \text{on } \Gamma_\epsilon \quad (4.5)$$

$$u_i^{\epsilon p} = u_i^{\epsilon q} \quad \text{on } \Gamma_{pq} \quad (4.6)$$

$$C_{ijkl}^p u_{k,l}^{\epsilon p} n_j^p + C_{ijkl}^q u_{k,l}^{\epsilon q} n_j^q = 0 \quad \text{on } \Gamma_{pq} \quad (4.7)$$

$$\sum_{p=1, p \neq a}^n \int_{\Omega_p} (\rho^p u_i^\epsilon u_i^\epsilon) d\Omega + \int_{\Omega_a \setminus \Omega_\epsilon} (\rho^a u_i^\epsilon u_i^\epsilon) d\Omega + \int_{\Omega_\epsilon} (\rho^b u_i^\epsilon u_i^\epsilon) d\Omega = 1 \quad (4.8)$$

$\mathbf{u}^\epsilon, \lambda^\epsilon$  を，微小な材料  $b$  の領域が生成される前の固有ベクトルおよび固有値  $\mathbf{u}, \lambda$  用いて展開すると，次式のようになる．

$$\mathbf{u}^\epsilon(\mathbf{x}) = \mathbf{u}(\mathbf{x}) \chi_{R^2/\Omega} + \hat{\mathbf{u}}(\mathbf{x}) \quad (4.9)$$

$$\lambda^\epsilon = \lambda + \hat{\lambda} \quad (4.10)$$

ここで， $\Omega_\epsilon$  の中心座標を  $\mathbf{x}_0$  とし， $\boldsymbol{\xi} = \frac{\mathbf{x} - \mathbf{z}}{\epsilon}$  を導入し， $\hat{\mathbf{u}}(\mathbf{x})$  を  $\epsilon$  に関して次式のように漸近展開する．

$$\begin{aligned} \hat{\mathbf{u}}(\mathbf{x}) &= \{\hat{\mathbf{u}}^{(I-)}(\mathbf{x}) + \epsilon \hat{\mathbf{u}}^{(II-)}(\mathbf{x})\} \chi_{\Omega_\epsilon} + \{\hat{\mathbf{u}}^{(I+)}(\mathbf{x}) + \epsilon \hat{\mathbf{u}}^{(II+)}(\mathbf{x})\} \chi_{R^2 \setminus \Omega_\epsilon} + O(\epsilon^2) \\ &= \{\hat{\mathbf{w}}^{(I-)}(\boldsymbol{\xi}) + \epsilon \hat{\mathbf{w}}^{(II-)}(\boldsymbol{\xi})\} \chi_{\Omega_\epsilon} + \{\hat{\mathbf{w}}^{(I+)}(\boldsymbol{\xi}) + \epsilon \hat{\mathbf{w}}^{(II+)}(\boldsymbol{\xi})\} \chi_{R^2 \setminus \Omega_\epsilon} + O(\epsilon^2) \\ &= \{\hat{\mathbf{w}}^{(-)}(\boldsymbol{\xi})\} \chi_{\Omega_\epsilon} + \{\hat{\mathbf{w}}^{(+)}(\boldsymbol{\xi})\} \chi_{R^2 \setminus \Omega_\epsilon} + O(\epsilon^2) \end{aligned} \quad (4.11)$$

ただし，上付き添え字の  $+$  は微小領域  $\Omega_\epsilon$  の外側を， $-$  は内側を示している．この時， $\hat{\mathbf{w}}(\boldsymbol{\xi})^{(\pm)}$  は次式を満たす．

$$C_{ijkl}^b \left\{ \frac{1}{\epsilon^2} \frac{\partial^2 \hat{w}_k^{(-)}}{\partial \xi_l \partial \xi_j}(\boldsymbol{\xi}) \right\} + (\lambda + \hat{\lambda}) \rho^b \hat{w}_i^{(-)}(\boldsymbol{\xi}) = 0 \quad \text{in } \Omega_\epsilon \quad (4.12)$$

$$C_{ijkl}^a \left\{ \frac{\partial^2 u_k}{\partial x_l \partial x_j}(\mathbf{x}) + \frac{1}{\epsilon^2} \frac{\partial^2 \hat{w}_k^{(+)}}{\partial \xi_l \partial \xi_j}(\boldsymbol{\xi}) \right\} + (\lambda + \hat{\lambda}) \rho^a \{u_i(\mathbf{x}) + \hat{w}_i^{(+)}(\boldsymbol{\xi})\} = 0 \quad \text{in } \Omega_a \setminus \Omega_\epsilon \quad (4.13)$$

$$\hat{w}_i^{(-)}(\boldsymbol{\xi}) = u_i(\mathbf{x}) + \hat{w}_i^{(+)}(\boldsymbol{\xi}) \quad \text{on } \Gamma_\epsilon \quad (4.14)$$

$$C_{ijkl}^b \left\{ \frac{1}{\epsilon} \frac{\partial \hat{w}_k^{(-)}}{\partial \xi_l}(\boldsymbol{\xi}) n_j^{(-)} \right\} + C_{ijkl}^a \left\{ \frac{\partial u_k}{\partial x_l}(\mathbf{x}) n_j^{(+)} + \frac{1}{\epsilon} \frac{\partial \hat{w}_k^{(+)}}{\partial \xi_l}(\boldsymbol{\xi}) n_j^{(+)} \right\} = 0 \quad \text{on } \Gamma_\epsilon \quad (4.15)$$

$$\begin{aligned} & \sum_{p=1, p \neq a}^n \int_{\Omega_p} \rho^p (u_i u_i + 2u_i \hat{w}_i^{(+)} + \hat{w}_i^{(+)} \hat{w}_i^{(+)}) d\Omega \\ & + \int_{\Omega_a \setminus \Omega_\epsilon} \rho^a (u_i u_i + 2u_i \hat{w}_i^{(+)} + \hat{w}_i^{(+)} \hat{w}_i^{(+)}) d\Omega + \int_{\Omega_\epsilon} \rho^b (\hat{w}_i^{(-)} \hat{w}_i^{(-)}) d\Omega = 1 \end{aligned} \quad (4.16)$$

式 (4.13) から式 (2.1) を引き, 整理することで, 以下ようになる.

$$C_{ijkl}^b \frac{\partial^2 \hat{w}_k^{(-)}}{\partial \xi_l \partial \xi_j}(\boldsymbol{\xi}) + \epsilon^2 \left\{ (\lambda + \hat{\lambda}) \rho^b \hat{w}_i^{(-)}(\boldsymbol{\xi}) \right\} = 0 \quad \text{in } \Omega_\epsilon \quad (4.17)$$

$$C_{ijkl}^a \frac{\partial^2 \hat{w}_k^{(+)}}{\partial \xi_l \partial \xi_j}(\boldsymbol{\xi}) + \epsilon^2 \left\{ \lambda \rho^a \hat{w}_i^{(+)}(\boldsymbol{\xi}) + \hat{\lambda} \rho^a \left( u_i(\boldsymbol{x}) + \hat{w}_i^{(+)}(\boldsymbol{\xi}) \right) \right\} = 0 \quad \text{in } \Omega_a \setminus \Omega_\epsilon \quad (4.18)$$

$$\hat{w}_i^{(-)}(\boldsymbol{\xi}) - \hat{w}_i^{(+)}(\boldsymbol{\xi}) = u_i(\boldsymbol{x}) = u_i(\boldsymbol{z}) + \epsilon \xi_j \frac{\partial u_i}{\partial x_j}(\boldsymbol{z}) + O(\epsilon^2) \quad \text{on } \Gamma_\epsilon \quad (4.19)$$

$$C_{ijkl}^b \frac{\partial \hat{w}_k^{(-)}}{\partial \xi_l}(\boldsymbol{\xi}) n_j^{(-)} - C_{ijkl}^a \frac{\partial \hat{w}_k^{(+)}}{\partial \xi_l}(\boldsymbol{\xi}) n_j^{(-)} = \epsilon C_{ijkl}^a \frac{\partial u_k}{\partial x_l}(\boldsymbol{z}) + O(\epsilon^2) \quad \text{on } \Gamma_\epsilon \quad (4.20)$$

$$\sum_{p=1}^n \int_{\Omega_p} \rho^p (2u_i \hat{w}_i^{(+)} + \hat{w}_i^{(+)} \hat{w}_i^{(+)}) d\Omega + \int_{\Omega_\epsilon} \{ \rho^b \hat{w}_i^{(-)} \hat{w}_i^{(-)} - \rho^a u_i u_i \} d\Omega = 0 \quad (4.21)$$

$\epsilon$  の 0 次の項を整理すると

$$C_{ijkl}^b \frac{\partial^2 \hat{w}_k^{(I-)}}{\partial \xi_l \partial \xi_j}(\boldsymbol{\xi}) = 0 \quad \text{in } \Omega_\epsilon \quad (4.22)$$

$$C_{ijkl}^a \frac{\partial^2 \hat{w}_k^{(I+)}}{\partial \xi_l \partial \xi_j}(\boldsymbol{\xi}) = 0 \quad \text{in } \Omega \setminus \Omega_\epsilon \quad (4.23)$$

$$\hat{w}_i^{(I-)}(\boldsymbol{\xi}) - \hat{w}_i^{(I+)}(\boldsymbol{\xi}) = u_i(\boldsymbol{z}) \quad \text{on } \Gamma_\epsilon \quad (4.24)$$

$$C_{ijkl}^b \frac{\partial \hat{w}_k^{(I-)}}{\partial \xi_l}(\boldsymbol{\xi}) n_j^{(-)} - C_{ijkl}^a \frac{\partial \hat{w}_k^{(I+)}}{\partial \xi_l}(\boldsymbol{\xi}) n_j^{(-)} = 0 \quad \text{on } \Gamma_\epsilon \quad (4.25)$$

$\epsilon$  の 1 次の項を整理すると

$$C_{ijkl}^b \frac{\partial^2 \hat{w}_k^{(II-)}}{\partial \xi_l \partial \xi_j}(\boldsymbol{\xi}) = 0 \quad \text{in } \Omega_\epsilon \quad (4.26)$$

$$C_{ijkl}^a \frac{\partial^2 \hat{w}_k^{(II+)}}{\partial \xi_l \partial \xi_j}(\boldsymbol{\xi}) = 0 \quad \text{in } \Omega \setminus \Omega_\epsilon \quad (4.27)$$

$$\begin{aligned} \hat{w}_i^{(II-)}(\boldsymbol{\xi}) - \hat{w}_i^{(II+)}(\boldsymbol{\xi}) &= \xi_j \frac{\partial u_i}{\partial x_j}(\boldsymbol{z}) \\ &\equiv u_i^{(II)} \quad \text{on } \Gamma_\epsilon \end{aligned} \quad (4.28)$$

$$\begin{aligned} C_{ijkl}^b \frac{\partial \hat{w}_k^{(II-)}}{\partial \xi_l}(\boldsymbol{\xi}) n_j^{(-)} - C_{ijkl}^a \frac{\partial \hat{w}_k^{(II+)}}{\partial \xi_l}(\boldsymbol{\xi}) n_j^{(-)} &= C_{ijkl}^a \frac{\partial u_k}{\partial x_l}(\boldsymbol{z}) n_j^{(-)} \\ &\equiv t_i^{(II)} \quad \text{on } \Gamma_\epsilon \end{aligned} \quad (4.29)$$

以上から,  $\hat{\boldsymbol{w}}^{(I-)}, \hat{\boldsymbol{w}}^{(I+)}, \hat{\boldsymbol{w}}^{(II-)}, \hat{\boldsymbol{w}}^{(II+)}$  は, それぞれ平衡方程式に従うことが分かる.



## 4.2 等方弾性体の平衡方程式の一般解

応力が  $x_3$  成分に依存しない場合の平衡方程式は以下ようになる。

$$\frac{\partial \sigma_{x_1 x_1}}{\partial x_1} + \frac{\partial \sigma_{x_1 x_2}}{\partial x_2} = 0, \quad \frac{\partial \sigma_{x_1 x_2}}{\partial x_1} + \frac{\partial \sigma_{x_2 x_2}}{\partial x_2} = 0 \quad (4.30)$$

あるスカラー関数  $\Phi$  を用いて、応力テンソルの各成分を次式で表現することができれば、その応力は明らかに平衡方程式 (4.30) を満たす。

$$\sigma_{x_1 x_1} = \frac{\partial^2 \Phi}{\partial x_2^2}, \quad \sigma_{x_2 x_2} = \frac{\partial^2 \Phi}{\partial x_1^2}, \quad \sigma_{x_1 x_2} = -\frac{\partial^2 \Phi}{\partial x_1 \partial x_2} \quad (4.31)$$

このスカラー関数  $\Phi$  は The Airy stress function と呼ばれる。弾性体を解析するには平衡条件に加えて適合条件を満たす必要がある。適合条件とは、弾性体の複数の点の相対的な位置関係が変形によって変化しないことを保証する条件で、二次元の場合には歪みを用いて次式で与えられる。

$$\frac{\partial^2 e_{x_1 x_1}}{\partial^2 x_2} - 2 \frac{\partial^2 e_{x_1 x_2}}{\partial x_1 \partial x_2} + \frac{\partial^2 e_{x_2 x_2}}{\partial^2 x_1} \quad (4.32)$$

また、等方弾性体の場合、ひずみと応力の関係式は以下で表される。

$$\begin{aligned} \sigma_{ij} &= C_{ijkl} e_{kl} \\ C_{ijkl} &= \frac{3-\kappa}{\kappa-1} \mu \delta_{ij} \delta_{kl} + \mu (\delta_{ik} \delta_{jl} + \delta_{il} \delta_{jk}) \end{aligned} \quad (4.33)$$

ただし、 $\mu$  は  $\mu = \frac{E}{2(1+\nu)}$  で与えられる Lamé's constant,  $\kappa$  は Kolosov's constant と呼ばれる定数で、平面応力状態では式 (4.34), 平面ひずみ状態では式 (4.35) となる。

$$\kappa = \frac{3-\nu}{1+\nu} \quad (\text{for plain stress}) \quad (4.34)$$

$$\kappa = 3-4\nu \quad (\text{for plain strain}) \quad (4.35)$$

ここで、式 (4.31) および (4.33) から、ひずみ  $e_{ij}$  を  $\Phi$  で表現すると次式のようなになる。

$$\begin{aligned} e_{x_1 x_1} &= \frac{\kappa+1}{8\mu} \sigma_{x_1 x_1} - \frac{3-\kappa}{8\mu} \sigma_{x_2 x_2} = \frac{\kappa+1}{8\mu} \frac{\partial^2 \Phi}{\partial x_2^2} - \frac{3-\kappa}{8\mu} \frac{\partial^2 \Phi}{\partial x_1^2} \\ e_{x_2 x_2} &= \frac{\kappa+1}{8\mu} \sigma_{x_2 x_2} - \frac{3-\kappa}{8\mu} \sigma_{x_1 x_1} = \frac{\kappa+1}{8\mu} \frac{\partial^2 \Phi}{\partial x_1^2} - \frac{3-\kappa}{8\mu} \frac{\partial^2 \Phi}{\partial x_2^2} \\ e_{x_1 x_2} &= \frac{1}{2\mu} \sigma_{x_1 x_2} = -\frac{1}{2\mu} \frac{\partial^2 \Phi}{\partial x_1 \partial x_2} \end{aligned} \quad (4.36)$$

式 (4.32) に (4.36) を代入し、整理すると次式が得られる。

$$\nabla^4 \Phi = 0 \quad (4.37)$$

ゆえに  $\Phi$  は重調和関数となる.

二次元の極座標系において, 式 (4.37) には The Michell solution と呼ばれる一般解が存在し,  $\Phi$  は以下のように展開される.

$$\begin{aligned}
\Phi = & A_{01}r^2 + A_{02}r^2 \ln(r) + A_{03} \ln(r) + A_{04}\theta \\
& + \left( A_{11}r^3 + A_{12}r \ln(r) + A_{14}r^{-1} \right) \cos(\theta) + A_{13}r\theta \sin(\theta) \\
& + \left( B_{11}r^3 + B_{12}r \ln(r) + B_{14}r^{-1} \right) \sin(\theta) + B_{13}r\theta \cos(\theta) \\
& + \sum_{m=2}^{\infty} \left( A_{m1}r^{m+2} + A_{m2}r^{-m+2} + A_{m3}r^m + A_{m4}r^{-m} \right) \cos(m\theta) \\
& + \sum_{m=2}^{\infty} \left( B_{m1}r^{m+2} + B_{m2}r^{-m+2} + B_{m3}r^m + B_{m4}r^{-m} \right) \sin(m\theta) \quad (4.38)
\end{aligned}$$

極座標表示における, 応力テンソルの各成分  $\sigma_{rr}, \sigma_{r\theta}, \sigma_{\theta\theta}$  は The Airy stress function  $\Phi$  の微分を用いて次式で表現される.

$$\sigma_{rr} = \frac{1}{r} \frac{\partial \Phi}{\partial r} + \frac{1}{r^2} \frac{\partial^2 \Phi}{\partial \theta^2}, \quad \sigma_{r\theta} = \frac{1}{r^2} \frac{\partial \Phi}{\partial \theta} - \frac{1}{r} \frac{\partial^2 \Phi}{\partial r \partial \theta}, \quad \sigma_{\theta\theta} = \frac{\partial^2 \Phi}{\partial r^2} \quad (4.39)$$

ゆえに, 式 (4.39) に式 (4.38) を代入すると,  $\sigma_{rr}, \sigma_{r\theta}, \sigma_{\theta\theta}$  は次式のようにになる.

$$\begin{aligned}
\sigma_{rr} = & 2A_{01} + A_{02}\{2r \ln(r) + 1\} + A_{03}r^{-2} \\
& + 2A_{11}r \cos(\theta) + A_{12}r^{-1} \cos(\theta) + 2A_{13}r^{-1} \cos(\theta) - 2A_{14}r^{-3} \cos(\theta) \\
& + 2B_{11}r \sin(\theta) + B_{12}r^{-1} \sin(\theta) - 2B_{13}r^{-1} \sin(\theta) - 2B_{14}r^{-3} \sin(\theta) \\
& + \sum_{m=2}^{\infty} \left\{ -A_{m1}(m+1)(m-2)r^m - A_{m2}(m+2)(m-1)r^{-m} \right. \\
& \quad \left. - A_{m3}m(m-1)r^{m-2} - A_{m4}m(m+1)r^{-m-2} \right\} \cos(m\theta) \\
& + \sum_{m=2}^{\infty} \left\{ -B_{m1}(m+1)(m-2)r^m - B_{m2}(m+2)(m-1)r^{-m} \right. \\
& \quad \left. - B_{m3}m(m-1)r^{m-2} - B_{m4}m(m+1)r^{-m-2} \right\} \sin(m\theta) \quad (4.40)
\end{aligned}$$

$$\begin{aligned}
\sigma_{r\theta} = & A_{04}r^{-2} \\
& + 2A_{11}r \sin(\theta) + A_{12}r^{-1} \sin(\theta) - 2A_{14}r^{-3} \sin(\theta) \\
& - 2B_{11}r \cos(\theta) - B_{12}r^{-1} \cos(\theta) + 2B_{14}r^{-3} \cos(\theta) \\
& + \sum_{m=2}^{\infty} \left\{ A_{m1}m(m+1)r^m - A_{m2}m(m-1)r^{-m} \right. \\
& \quad \left. + A_{m3}m(m-1)r^{m-2} - A_{m4}m(m+1)r^{-m-2} \right\} \sin(m\theta) \\
& + \sum_{m=2}^{\infty} \left\{ -B_{m1}m(m+1)r^m + B_{m2}m(m-1)r^{-m} \right. \\
& \quad \left. - B_{m3}m(m-1)r^{m-2} + B_{m4}m(m+1)r^{-m-2} \right\} \cos(m\theta) \quad (4.41)
\end{aligned}$$

$$\begin{aligned}
\sigma_{\theta\theta} = & 2A_{01} + A_{02}\{2r \ln(r) + 3\} - A_{03}r^{-2} \\
& + 6A_{11}r \cos(\theta) + A_{12}r^{-1} \cos(\theta) - 2A_{14}r^{-3} \cos(\theta) \\
& + 6B_{11}r \sin(\theta) + B_{12}r^{-1} \sin(\theta) + 2B_{14}r^{-3} \sin(\theta) \\
& + \sum_{m=2}^{\infty} \left\{ A_{m1}(m+1)(m+2)r^m + A_{m2}(m-1)(m-2)r^{-m} \right. \\
& \quad \left. + A_{m3}m(m-1)r^{m-2} + A_{m4}m(m+1)r^{-m-2} \right\} \cos(m\theta) \\
& + \sum_{m=2}^{\infty} \left\{ B_{m1}(m+1)(m+2)r^m + B_{m2}(m-1)(m-2)r^{-m} \right. \\
& \quad \left. + B_{m3}m(m-1)r^{m-2} + B_{m4}m(m+1)r^{-m-2} \right\} \sin(m\theta) \quad (4.42)
\end{aligned}$$

さらに極座標系の歪み-変位関係式は (4.43) のようになる.

$$e_{rr} = \frac{\partial u_r}{\partial r}, \quad e_{r\theta} = \frac{1}{2} \left( \frac{1}{r} \frac{\partial u_r}{\partial \theta} + \frac{\partial u_\theta}{\partial r} - \frac{u_\theta}{r} \right), \quad e_{\theta\theta} = \frac{1}{r} \frac{\partial u_\theta}{\partial \theta} + \frac{u_r}{r} \quad (4.43)$$

式 (4.40)~式 (4.42), 構成式 (4.33), および歪み-変位関係式 (4.43) を用いて  $u_r$  および  $u_\theta$  を

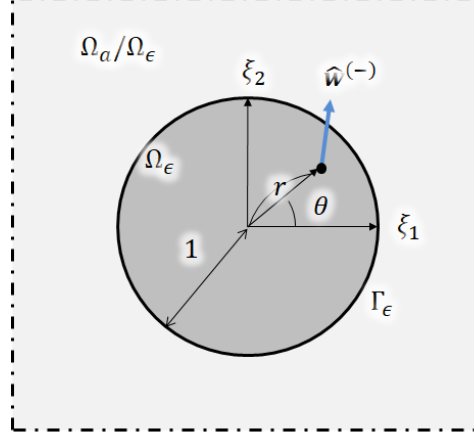
計算すると、以下ようになる。

$$\begin{aligned}
2\mu u_r = & D_1 \cos(\theta) + D_2 \sin(\theta) \\
& + A_{01}(\kappa - 1)r + A_{02} \left\{ (\kappa - 1)r \ln(r) - r \right\} - A_{03}r^{-1} \\
& + A_{11}(\kappa - 2)r^2 \cos(\theta) + A_{12} \frac{1}{2} \left\{ (\kappa + 1)\theta \sin(\theta) - \cos(\theta) + (\kappa - 1) \ln(r) \cos(\theta) \right\} \\
& + A_{13} \frac{1}{2} \left\{ (\kappa - 1)\theta \sin(\theta) - \cos(\theta) + (\kappa + 1) \ln(r) \cos(\theta) \right\} + A_{14}r^{-2} \cos(\theta) \\
& + B_{11}(\kappa - 2)r^2 \sin(\theta) + B_{12} \frac{1}{2} \left\{ -(\kappa + 1)\theta \cos(\theta) - \sin(\theta) + (\kappa - 1) \ln(r) \sin(\theta) \right\} \\
& + B_{13} \frac{1}{2} \left\{ (\kappa - 1)\theta \cos(\theta) + \sin(\theta) - (\kappa + 1) \ln(r) \sin(\theta) \right\} + B_{14}r^{-2} \sin(\theta) \\
& + \sum_{m=2}^{\infty} \left\{ A_{m1}(\kappa - m - 1)r^{m+1} + A_{m2}(\kappa + m - 1)r^{-m+1} \right. \\
& \quad \left. - A_{m3}mr^{m-1} + A_{m4}mr^{-m-1} \right\} \cos(m\theta) \\
& + \sum_{m=2}^{\infty} \left\{ B_{m1}(\kappa - m - 1)r^{m+1} + B_{m2}(\kappa + m - 1)r^{-m+1} \right. \\
& \quad \left. - B_{m3}mr^{m-1} + B_{m4}mr^{-m-1} \right\} \sin(m\theta) \tag{4.44}
\end{aligned}$$

$$\begin{aligned}
2\mu u_\theta = & -D_1 \sin(\theta) + D_2 \cos(\theta) + D_3r \\
& + A_{02}(\kappa + 1)r\theta - A_{04}r^{-1} \\
& + A_{11}(\kappa + 2)r^2 \sin(\theta) + A_{12} \frac{1}{2} \left\{ (\kappa + 1)\theta \cos(\theta) - \sin(\theta) - (\kappa - 1) \ln(r) \sin(\theta) \right\} \\
& + A_{13} \frac{1}{2} \left\{ (\kappa - 1)\theta \cos(\theta) - \sin(\theta) - (\kappa + 1) \ln(r) \sin(\theta) \right\} + A_{14}r^{-2} \sin(\theta) \\
& - B_{11}(\kappa + 2)r^2 \cos(\theta) + B_{12} \frac{1}{2} \left\{ (\kappa + 1)\theta \sin(\theta) + \cos(\theta) + (\kappa - 1) \ln(r) \cos(\theta) \right\} \\
& + B_{13} \frac{1}{2} \left\{ -(\kappa - 1)\theta \sin(\theta) - \cos(\theta) - (\kappa + 1) \ln(r) \cos(\theta) \right\} - B_{14}r^{-2} \cos(\theta) \\
& + \sum_{m=2}^{\infty} \left\{ A_{m1}(\kappa + m + 1)r^{m+1} - A_{m2}(\kappa - m + 1)r^{-m+1} \right. \\
& \quad \left. + A_{m3}mr^{m-1} - A_{m4}mr^{-m-1} \right\} \sin(m\theta) \\
& + \sum_{m=2}^{\infty} \left\{ -B_{m1}(\kappa + m + 1)r^{m+1} + B_{m2}(\kappa - m + 1)r^{-m+1} \right. \\
& \quad \left. - B_{m3}mr^{m-1} - B_{m4}mr^{-m-1} \right\} \cos(m\theta) \tag{4.45}
\end{aligned}$$

ただし、式 (4.44) の  $D_1 \cos(\theta) + D_2 \sin(\theta)$  や式 (4.45) の  $-D_1 \sin(\theta) + D_2 \cos(\theta) + D_3r$  は式 (4.43) を積分することで現れる不定積分の項である。

### 4.3 $\hat{w}^{(I-)}$ の The Michell solution による表現

Fig.4.2  $\hat{w}^{(-)}$  in  $\Omega_\epsilon$ 

式 (4.46) のように  $(\xi_1, \xi_2)$  座標を  $(r, \theta)$  座標に変換する.

$$\begin{aligned}\xi_1 &= r \cos(\theta) \\ \xi_2 &= r \sin(\theta)\end{aligned}\tag{4.46}$$

$\Omega_\epsilon$  内の  $\hat{w}^{(I-)}$  に関する The Airy stress function  $\Phi^{(I-)}$  は, The Michell solution (4.38) を用いて以下のように展開できる.

$$\begin{aligned}\Phi^{(I-)} &= A_{01}^{(I-)} r^2 + A_{02}^{(I-)} r^2 \ln(r) + A_{03}^{(I-)} \ln(r) + A_{04}^{(I-)} \theta \\ &+ \left( A_{11}^{(I-)} r^3 + A_{12}^{(I-)} r \ln(r) + A_{14}^{(I-)} r^{-1} \right) \cos(\theta) + A_{13}^{(I-)} r \theta \sin(\theta) \\ &+ \left( B_{11}^{(I-)} r^3 + B_{12}^{(I-)} r \ln(r) + B_{14}^{(I-)} r^{-1} \right) \sin(\theta) + B_{13}^{(I-)} r \theta \cos(\theta) \\ &+ \sum_{m=2}^{\infty} \left( A_{m1}^{(I-)} r^{m+2} + A_{m2}^{(I-)} r^{-m+2} + A_{m3}^{(I-)} r^m + A_{m4}^{(I-)} r^{-m} \right) \cos(m\theta) \\ &+ \sum_{m=2}^{\infty} \left( B_{m1}^{(I-)} r^{m+2} + B_{m2}^{(I-)} r^{-m+2} + B_{m3}^{(I-)} r^m + B_{m4}^{(I-)} r^{-m} \right) \sin(m\theta)\end{aligned}\tag{4.47}$$

$r \rightarrow 0$  において,  $|\hat{\mathbf{w}}^{(I-)}| < \infty, |\hat{\sigma}^{(I-)}| < \infty$  となる条件は以下のようになる,

$$\begin{aligned}
A_{02}^{(I-)} &= 0, & A_{03}^{(I-)} &= 0, & A_{04}^{(I-)} &= 0 \\
A_{12}^{(I-)} &= 0, & A_{13}^{(I-)} &= 0, & A_{14}^{(I-)} &= 0 \\
B_{12}^{(I-)} &= 0, & B_{13}^{(I-)} &= 0, & B_{14}^{(I-)} &= 0 \\
A_{m2}^{(I-)} &= 0, & A_{m4}^{(I-)} &= 0 & (m \geq 2) \\
B_{m2}^{(I-)} &= 0, & B_{m4}^{(I-)} &= 0 & (m \geq 2)
\end{aligned} \tag{4.48}$$

ゆえに, 式 (4.48) を用いて,  $\hat{w}_r^{(I-)}, \hat{w}_\theta^{(I-)}, \hat{\sigma}_{rr}^{(I-)}, \hat{\sigma}_{r\theta}^{(I-)}$  を整理すると, 以下のようになる.

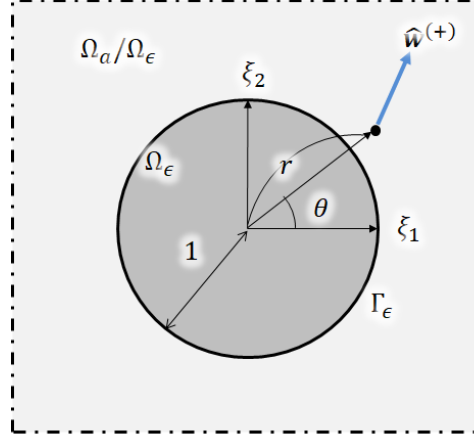
$$\begin{aligned}
2\mu^b \hat{w}_r^{(I-)} &= D_1^{(I-)} \cos(\theta) + D_2^{(I-)} \sin(\theta) \\
&+ A_{01}^{(I-)} (\kappa^b - 1) r \\
&+ A_{11}^{(I-)} (\kappa^b - 2) r^2 \cos(\theta) + B_{11}^{(I-)} (\kappa^b - 2) r^2 \sin(\theta) \\
&+ \sum_{m=2}^{\infty} \left\{ A_{m1}^{(I-)} (\kappa^b - m - 1) r^{m+1} - A_{m3}^{(I-)} m r^{m-1} \right\} \cos(m\theta) \\
&+ \sum_{m=2}^{\infty} \left\{ B_{m1}^{(I-)} (\kappa^b - m - 1) r^{m+1} - B_{m3}^{(I-)} m r^{m-1} \right\} \sin(m\theta)
\end{aligned} \tag{4.49}$$

$$\begin{aligned}
2\mu^b \hat{w}_\theta^{(I-)} &= -D_1^{(I-)} \sin(\theta) + D_2^{(I-)} \cos(\theta) + D_3^{(I-)} r \\
&+ A_{11}^{(I-)} (\kappa^b + 2) r^2 \sin(\theta) - B_{11}^{(I-)} (\kappa^b + 2) r^2 \cos(\theta) \\
&+ \sum_{m=2}^{\infty} \left\{ A_{m1}^{(I-)} (\kappa^b + m + 1) r^{m+1} + A_{m3}^{(I-)} m r^{m-1} \right\} \sin(m\theta) \\
&+ \sum_{m=2}^{\infty} \left\{ -B_{m1}^{(I-)} (\kappa^b + m + 1) r^{m+1} - B_{m3}^{(I-)} m r^{m-1} \right\} \cos(m\theta)
\end{aligned} \tag{4.50}$$

$$\begin{aligned}
\hat{\sigma}_{rr}^{(I-)} &= 2A_{01}^{(I-)} \\
&+ 2A_{11}^{(I-)} r \cos(\theta) + 2B_{11}^{(I-)} r \sin(\theta) \\
&+ \sum_{m=2}^{\infty} \left\{ -A_{m1}^{(I-)} (m+1)(m-2) r^m - A_{m3}^{(I-)} m(m-1) r^{m-2} \right\} \cos(m\theta) \\
&+ \sum_{m=2}^{\infty} \left\{ -B_{m1}^{(I-)} (m+1)(m-2) r^m - B_{m3}^{(I-)} m(m-1) r^{m-2} \right\} \sin(m\theta)
\end{aligned} \tag{4.51}$$

$$\begin{aligned}
\hat{\sigma}_{r\theta}^{(I-)} = & 2A_{11}^{(I-)} r \sin(\theta) - 2B_{11}^{(I-)} r \cos(\theta) \\
& + \sum_{m=2}^{\infty} \left\{ A_{m1}^{(I-)} m(m+1) r^m + A_{m3}^{(I-)} m(m-1) r^{m-2} \right\} \sin(m\theta) \\
& + \sum_{m=2}^{\infty} \left\{ -B_{m1}^{(I-)} m(m+1) r^m - B_{m3}^{(I-)} m(m-1) r^{m-2} \right\} \cos(m\theta) \quad (4.52)
\end{aligned}$$

$$\begin{aligned}
\hat{\sigma}_{\theta\theta}^{(I-)} = & 2A_{01}^{(I-)} \\
& + 6A_{11}^{(I-)} r \cos(\theta) + 6B_{11}^{(I-)} r \sin(\theta) \\
& + \sum_{m=2}^{\infty} \left\{ A_{m1}^{(I-)} (m+1)(m+2) r^m + A_{m3}^{(I-)} m(m-1) r^{m-2} \right\} \cos(m\theta) \\
& + \sum_{m=2}^{\infty} \left\{ B_{m1}^{(I-)} (m+1)(m+2) r^m + B_{m3}^{(I-)} m(m-1) r^{m-2} \right\} \sin(m\theta) \quad (4.53)
\end{aligned}$$

4.4  $\hat{\mathbf{w}}^{(I+)}$  の The Michell solution による表現Fig.4.3  $\hat{\mathbf{w}}^{(+)}$  outside  $\Omega_\epsilon$ 

一方,  $\Omega_a \setminus \Omega_\epsilon$  における The Airy stress function  $\Phi^{(I+)}$  に関しても同様に, The Michell solution (4.38) を用いて以下のように展開できる.

$$\begin{aligned}
\Phi^{(I+)} = & A_{01}^{(I+)} r^2 + A_{02}^{(I+)} r^2 \ln(r) + A_{03}^{(I+)} \ln(r) + A_{04}^{(I+)} \theta \\
& + \left( A_{11}^{(I+)} r^3 + A_{12}^{(I+)} r \ln(r) + A_{14}^{(I+)} r^{-1} \right) \cos(\theta) + A_{13}^{(I+)} r \theta \sin(\theta) \\
& + \left( B_{11}^{(I+)} r^3 + B_{12}^{(I+)} r \ln(r) + B_{14}^{(I+)} r^{-1} \right) \sin(\theta) + B_{13}^{(I+)} r \theta \cos(\theta) \\
& + \sum_{m=2}^{\infty} \left( A_{m1}^{(I+)} r^{m+2} + A_{m2}^{(I+)} r^{-m+2} + A_{m3}^{(I+)} r^m + A_{m4}^{(I+)} r^{-m} \right) \cos(m\theta) \\
& + \sum_{m=2}^{\infty} \left( B_{m1}^{(I+)} r^{m+2} + B_{m2}^{(I+)} r^{-m+2} + B_{m3}^{(I+)} r^m + B_{m4}^{(I+)} r^{-m} \right) \sin(m\theta) \quad (4.54)
\end{aligned}$$

$r \rightarrow \infty$  において,  $|\hat{\mathbf{w}}^{(I+)}| \rightarrow 0$  となる条件は以下のようになる,

$$\begin{aligned}
D_1^{(I+)} &= 0, & D_2^{(I+)} &= 0, & D_3^{(I+)} &= 0 \\
&& A_{01}^{(I+)} &= 0, & A_{02}^{(I+)} &= 0 \\
A_{11}^{(I+)} &= 0, & A_{12}^{(I+)} &= 0, & A_{13}^{(I+)} &= 0 \\
B_{11}^{(I+)} &= 0, & B_{12}^{(I+)} &= 0, & B_{13}^{(I+)} &= 0 \\
&& A_{m1}^{(I+)} &= 0, & A_{m3}^{(I+)} &= 0 & (m \geq 2) \\
&& B_{m1}^{(I+)} &= 0, & B_{m3}^{(I+)} &= 0 & (m \geq 2) \quad (4.55)
\end{aligned}$$



ゆえに、式 (4.55) を用いて  $\hat{w}_r^{(I+)}$ ,  $\hat{w}_\theta^{(I+)}$ ,  $\hat{\sigma}_{rr}^{(I+)}$ ,  $\hat{\sigma}_{r\theta}^{(I+)}$  を整理すると、以下ようになる。

$$\begin{aligned}
2\mu^a \hat{w}_r^{(I+)} = & -A_{03}^{(I+)} r^{-1} \\
& + A_{14}^{(I+)} r^{-2} \cos(\theta) + B_{14}^{(I+)} r^{-2} \sin(\theta) \\
& + \sum_{m=2}^{\infty} \left\{ A_{m2}^{(I+)} (\kappa^a + m - 1) r^{-m+1} + A_{m4}^{(I+)} m r^{-m-1} \right\} \cos(m\theta) \\
& + \sum_{m=2}^{\infty} \left\{ B_{m2}^{(I+)} (\kappa^a + m - 1) r^{-m+1} + B_{m4}^{(I+)} m r^{-m-1} \right\} \sin(m\theta) \quad (4.56)
\end{aligned}$$

$$\begin{aligned}
2\mu^a \hat{w}_\theta^{(I+)} = & -A_{04}^{(I+)} r^{-1} \\
& + A_{14}^{(I+)} r^{-2} \sin(\theta) - B_{14}^{(I+)} r^{-2} \cos(\theta) \\
& + \sum_{m=2}^{\infty} \left\{ -A_{m2}^{(I+)} (\kappa^a - m + 1) r^{-m+1} + A_{m4}^{(I+)} m r^{-m-1} \right\} \sin(m\theta) \\
& + \sum_{m=2}^{\infty} \left\{ B_{m2}^{(I+)} (\kappa^a - m + 1) r^{-m+1} - B_{m4}^{(I+)} m r^{-m-1} \right\} \cos(m\theta) \quad (4.57)
\end{aligned}$$

$$\begin{aligned}
\hat{\sigma}_{rr}^{(I+)} = & A_{03}^{(I+)} r^{-2} \\
& - 2A_{14}^{(I+)} r^{-3} \cos(\theta) - 2B_{14}^{(I+)} r^{-3} \sin(\theta) \\
& + \sum_{m=2}^{\infty} \left\{ -A_{m2}^{(I+)} (m+2)(m-1) r^{-m} - A_{m4}^{(I+)} m(m+1) r^{-m-2} \right\} \cos(m\theta) \\
& + \sum_{m=2}^{\infty} \left\{ -B_{m2}^{(I+)} (m+2)(m-1) r^{-m} - B_{m4}^{(I+)} m(m+1) r^{-m-2} \right\} \sin(m\theta) \quad (4.58)
\end{aligned}$$

$$\begin{aligned}
\hat{\sigma}_{r\theta}^{(I+)} = & A_{04}^{(I+)} r^{-2} \\
& - 2A_{14}^{(I+)} r^{-3} \sin(\theta) + 2B_{14}^{(I+)} r^{-3} \cos(\theta) \\
& + \sum_{m=2}^{\infty} \left\{ -A_{m2}^{(I+)} m(m-1) r^{-m} - A_{m4}^{(I+)} m(m+1) r^{-m-2} \right\} \sin(m\theta) \\
& + \sum_{m=2}^{\infty} \left\{ B_{m2}^{(I+)} m(m-1) r^{-m} + B_{m4}^{(I+)} m(m+1) r^{-m-2} \right\} \cos(m\theta) \quad (4.59)
\end{aligned}$$

$$\begin{aligned}
\hat{\sigma}_{\theta\theta}^{(I+)} = & -A_{03}^{(I+)} r^{-2} \\
& 2A_{14}^{(I+)} r^{-3} \cos(\theta) + 2B_{14}^{(I+)} r^{-3} \sin(\theta) \\
& + \sum_{m=2}^{\infty} \left\{ A_{m2}^{(I+)} (m-1)(m-2) r^{-m} + A_{m4}^{(I+)} m(m+1) r^{-m-2} \right\} \cos(m\theta) \\
& + \sum_{m=2}^{\infty} \left\{ B_{m2}^{(I+)} (m-1)(m-2) r^{-m} + B_{m4}^{(I+)} m(m+1) r^{-m-2} \right\} \sin(m\theta) \quad (4.60)
\end{aligned}$$

4.5  $\Gamma_\epsilon$  上の境界条件から得られる等式

$D_i^{*(I-)}, A_{ij}^{*(I-)}, B_{ij}^{*(I-)}, A_{ij}^{*(I+)}, B_{ij}^{*(I+)}$  を次式のように定義する.

$$\begin{aligned} D_i^{(I-)} &= 2\mu^b D_i^{*(I-)}, & A_{ij}^{(I-)} &= 2\mu^b A_{ij}^{*(I-)}, & B_{ij}^{(I-)} &= 2\mu^b B_{ij}^{*(I-)} \\ A_{ij}^{(I+)} &= 2\mu^a A_{ij}^{*(I+)}, & B_{ij}^{(I+)} &= 2\mu^a B_{ij}^{*(I+)} \end{aligned} \quad (4.61)$$

$\Gamma_\epsilon(r=1)$  上の変位および応力ベクトルの境界条件 (4.24)(4.25) より, 次の4つの等式が得られる.

$$\begin{aligned} \hat{w}_r^{(I-)} - \hat{w}_r^{(I+)} &= A_{01}^{*(I-)}(\kappa^b - 1) - \left(-A_{03}^{*(I+)}\right) \\ &+ \left\{ D_1^{*(I-)} + A_{11}^{*(I-)}(\kappa^b - 2) - \left(A_{14}^{*(I+)}\right) \right\} \cos(\theta) \\ &+ \left\{ D_2^{*(I-)} + B_{11}^{*(I-)}(\kappa^b - 2) - \left(B_{14}^{*(I+)}\right) \right\} \sin(\theta) \\ &+ \sum_{m=2}^{\infty} \left\{ A_{m1}^{*(I-)}(\kappa^b - m - 1) - A_{m3}^{*(I-)}m \right. \\ &\quad \left. - \left( A_{m2}^{*(I+)}(\kappa^a + m - 1) + A_{m4}^{*(I+)}m \right) \right\} \cos(m\theta) \\ &+ \sum_{m=2}^{\infty} \left\{ B_{m1}^{*(I-)}(\kappa^b - m - 1) - B_{m3}^{*(I-)}m \right. \\ &\quad \left. - \left( B_{m2}^{*(I+)}(\kappa^a + m - 1) + B_{m4}^{*(I+)}m \right) \right\} \sin(m\theta) \\ &= u_r(\mathbf{z}) \\ &= u_{x_1}(\mathbf{z}) \cos(\theta) + u_{x_2}(\mathbf{z}) \sin(\theta) \end{aligned} \quad (4.62)$$

$$\begin{aligned} \hat{w}_\theta^{(I-)} - \hat{w}_\theta^{(I+)} &= D_3^{*(I-)} - \left(-A_{04}^{*(I+)}\right) \\ &+ \left\{ -D_1^{*(I-)} + A_{11}^{*(I-)}(\kappa^b + 2) - \left(A_{14}^{*(I+)}\right) \right\} \sin(\theta) \\ &+ \left\{ D_2^{*(I-)} - B_{11}^{*(I-)}(\kappa^b + 2) - \left(-B_{14}^{*(I+)}\right) \right\} \cos(\theta) \\ &+ \sum_{m=2}^{\infty} \left\{ A_{m1}^{*(I-)}(\kappa^b + m + 1) + A_{m3}^{*(I-)}m \right. \\ &\quad \left. - \left( -A_{m2}^{*(I+)}(\kappa^a - m + 1) + A_{m4}^{*(I+)}m \right) \right\} \sin(m\theta) \\ &+ \sum_{m=2}^{\infty} \left\{ -B_{m1}^{*(I-)}(\kappa^b + m + 1) - B_{m3}^{*(I-)}m \right. \\ &\quad \left. - \left( B_{m2}^{*(I+)}(\kappa^a - m + 1) - B_{m4}^{*(I+)}m \right) \right\} \cos(m\theta) \\ &= u_\theta(\mathbf{z}) \\ &= -u_{x_1}(\mathbf{z}) \sin(\theta) + u_{x_2}(\mathbf{z}) \cos(\theta) \end{aligned} \quad (4.63)$$

$$\begin{aligned}
\hat{\sigma}_{rr}^{(I-)} - \hat{\sigma}_{rr}^{(I+)} &= 2A_{01}^{(I-)} - \left(A_{03}^{(I+)}\right) \\
&+ \left\{2A_{11}^{(I-)} - \left(-2A_{14}^{(I+)}\right)\right\} \cos(\theta) \\
&+ \left\{2B_{11}^{(I-)} - \left(-2B_{14}^{(I+)}\right)\right\} \sin(\theta) \\
&+ \sum_{m=2}^{\infty} \left\{-A_{m1}^{(I-)}(m+1)(m-2) - A_{m3}^{(I-)}m(m-1)\right. \\
&\quad \left.- \left(-A_{m2}^{(I+)}(m+2)(m-1) - A_{m4}^{(I+)}m(m+1)\right)\right\} \cos(m\theta) \\
&+ \sum_{m=2}^{\infty} \left\{-B_{m1}^{(I-)}(m+1)(m-2) - B_{m3}^{(I-)}m(m-1)\right. \\
&\quad \left.- \left(-B_{m2}^{(I+)}(m+2)(m-1) - B_{m4}^{(I+)}m(m+1)\right)\right\} \sin(m\theta) \\
&= 0
\end{aligned} \tag{4.64}$$

$$\begin{aligned}
\hat{\sigma}_{r\theta}^{(I-)} - \hat{\sigma}_{r\theta}^{(I+)} &= -A_{04}^{(I+)} \\
&+ \left\{2A_{11}^{(I-)} - \left(-2A_{14}^{(I+)}\right)\right\} \sin(\theta) \\
&+ \left\{-2B_{11}^{(I-)} - \left(2B_{14}^{(I+)}\right)\right\} \cos(\theta) \\
&+ \sum_{m=2}^{\infty} \left\{A_{m1}^{(I-)}m(m+1) + A_{m3}^{(I-)}m(m-1)\right. \\
&\quad \left.- \left(-A_{m2}^{(I+)}m(m-1) - A_{m4}^{(I+)}m(m+1)\right)\right\} \sin(m\theta) \\
&+ \sum_{m=2}^{\infty} \left\{-B_{m1}^{(I-)}m(m+1) - B_{m3}^{(I-)}m(m-1)\right. \\
&\quad \left.- \left(B_{m2}^{(I+)}m(m-1) + B_{m4}^{(I+)}m(m+1)\right)\right\} \cos(m\theta) \\
&= 0
\end{aligned} \tag{4.65}$$

## 4.6 The Michell solution の係数に関する連立方程式

任意の  $0 \leq \pi \leq 2\pi$  に対して (4.62)~(4.65) が成立するためには  $1, \cos(m\theta), \sin(m\theta) (m \geq 1)$  の係数が 0 である必要がある。ゆえに、次下の連立方程式が得られる。

1 の係数：

$$\begin{pmatrix} \frac{1}{2\mu^b} & 0 & 0 & \frac{1}{2\mu^a} \\ 0 & \frac{\kappa^b - 1}{2\mu^b} & \frac{1}{2\mu^a} & 0 \\ 0 & \frac{4}{4} & -2 & 0 \\ 0 & 0 & 0 & -2 \end{pmatrix} \begin{pmatrix} D_3^{(I-)} \\ A_{01}^{(I-)} \\ A_{03}^{(I+)} \\ A_{04}^{(I+)} \end{pmatrix} = \begin{pmatrix} 0 \\ 0 \\ 0 \\ 0 \end{pmatrix} \quad (4.66)$$

$\cos(\theta), \sin(\theta)$  の係数：

$$\begin{pmatrix} \frac{1}{2\mu^b} & \frac{\kappa^b - 2}{2\mu^b} & -\frac{1}{2\mu^a} \\ -\frac{1}{2\mu^b} & \frac{\kappa^b + 2}{2\mu^b} & -\frac{1}{2\mu^a} \\ 0 & \frac{4}{4} & \frac{4}{4} \end{pmatrix} \begin{pmatrix} D_1^{(I-)} \\ A_{11}^{(I-)} \\ A_{14}^{(I+)} \end{pmatrix} = \begin{pmatrix} u_{x_1}(z) \\ -u_{x_1}(z) \\ 0 \end{pmatrix} \quad (4.67)$$

$$\begin{pmatrix} \frac{1}{2\mu^b} & \frac{\kappa^b - 2}{2\mu^b} & -\frac{1}{2\mu^a} \\ \frac{1}{2\mu^b} & \frac{\kappa^b + 2}{2\mu^b} & \frac{1}{2\mu^a} \\ 0 & -4 & -4 \end{pmatrix} \begin{pmatrix} D_2^{(I-)} \\ B_{11}^{(I-)} \\ B_{14}^{(I+)} \end{pmatrix} = \begin{pmatrix} u_{x_2}(z) \\ u_{x_2}(z) \\ 0 \end{pmatrix} \quad (4.68)$$

$\cos(m\theta), \sin(m\theta)$  の係数 ( $m \geq 2$ ) :

$$\begin{pmatrix} \frac{\kappa^b - m - 1}{2\mu^b} & -\frac{m}{2\mu^b} & -\frac{\kappa^a + m - 1}{2\mu^a} & -\frac{m}{2\mu^a} \\ \frac{\kappa^b + m + 1}{2\mu^b} & \frac{m}{2\mu^b} & \frac{\kappa^a - m + 1}{2\mu^a} & -\frac{m}{2\mu^a} \\ -(m+1)(m-2) & -m(m-1) & (m+2)(m-1) & m(m+1) \\ m(m+1) & m(m-1) & m(m-1) & m(m+1) \end{pmatrix} \begin{pmatrix} A_{m1}^{(I-)} \\ A_{m3}^{(I-)} \\ A_{m2}^{(I+)} \\ A_{m4}^{(I+)} \end{pmatrix} = \begin{pmatrix} 0 \\ 0 \\ 0 \\ 0 \end{pmatrix} \quad (4.69)$$

$$\begin{pmatrix} \frac{\kappa^b - m - 1}{2\mu^b} & -\frac{m}{2\mu^b} & -\frac{\kappa^a + m - 1}{2\mu^a} & -\frac{m}{2\mu^a} \\ -\frac{\kappa^b + m + 1}{2\mu^b} & -\frac{m}{2\mu^b} & -\frac{\kappa^a - m + 1}{2\mu^a} & \frac{m}{2\mu^a} \\ -(m+1)(m-2) & -m(m-1) & (m+2)(m-1) & m(m+1) \\ -m(m+1) & -m(m-1) & -m(m-1) & -m(m+1) \end{pmatrix} \begin{pmatrix} B_{m1}^{(I-)} \\ B_{m3}^{(I-)} \\ B_{m2}^{(I+)} \\ B_{m4}^{(I+)} \end{pmatrix} = \begin{pmatrix} 0 \\ 0 \\ 0 \\ 0 \end{pmatrix} \quad (4.70)$$

これらの連立方程式を解くと,

$$\begin{aligned} D_1^{(I-)} &= 2\mu^b u_{x_1}(\mathbf{z}), & D_2^{(I-)} &= 2\mu^b u_{x_2}(\mathbf{z}), & D_3^{(I-)} &= 0 \\ A_{ij}^{(I\pm)} &= 0, & B_{ij}^{(I\pm)} &= 0, & (i \geq 0, 1 \leq j \leq 4) \end{aligned} \quad (4.71)$$

以上から,  $\hat{\mathbf{w}}^{(I)}$  は以下のように求まる.

$$\begin{aligned} \hat{w}_r^{(I-)} &= u_{x_1}(\mathbf{z}) \cos(\theta) + u_{x_2}(\mathbf{z}) \sin(\theta) \\ \hat{w}_\theta^{(I-)} &= -u_{x_1}(\mathbf{z}) \sin(\theta) + u_{x_2}(\mathbf{z}) \cos(\theta) \end{aligned} \quad (4.72)$$

$$\hat{w}_r^{(I+)} = 0, \quad \hat{w}_\theta^{(I+)} = 0 \quad (4.73)$$

## 4.7 $\hat{\mathbf{w}}^{(II-)}, \hat{\mathbf{w}}^{(II+)}$ の導出

境界  $\Gamma_\epsilon$  上の極座標  $(1, \theta)$  における  $\xi_1, \xi_2$  座標は  $(\xi_1, \xi_2) = (\cos(\theta), \sin(\theta))$ , 法線ベクトルの  $\xi_1, \xi_2$  成分は  $(n_{\xi_1}, n_{\xi_2}) = (\cos(\theta), \sin(\theta))$  である. ゆえに  $\Gamma_\epsilon$  上の境界条件 (4.28) における変位  $\mathbf{u}^{(II)}$  の  $\xi_1, \xi_2$  成分は次式で表される.

$$\begin{aligned} u_{\xi_1}^{(II)} &= \xi_j u_{x_1, j}(\mathbf{z}) \\ &= u_{x_1, x_1}(\mathbf{z}) \cos(\theta) + u_{x_1, x_2}(\mathbf{z}) \sin(\theta) \end{aligned} \quad (4.74)$$

$$u_{\xi_2}^{(II)} = u_{x_2, x_1}(\mathbf{z}) \cos(\theta) + u_{x_2, x_2}(\mathbf{z}) \sin(\theta) \quad (4.75)$$

ゆえに,  $\mathbf{u}^{(II)}$  の  $r, \theta$  方向成分は以下のようにになる.

$$\begin{aligned} u_r^{(II)} &= u_{\xi_1}^{(II)} \cos(\theta) + u_{\xi_2}^{(II)} \sin(\theta) \\ &= u_{x_1, x_1}(\mathbf{z}) \cos^2(\theta) + \{u_{x_1, x_2}(\mathbf{z}) + u_{x_2, x_1}(\mathbf{z})\} \sin(\theta) \cos(\theta) + u_{x_2, x_2}(\mathbf{z}) \sin^2(\theta) \\ &= \frac{1}{2} \{u_{x_1, x_1}(\mathbf{z}) + u_{x_2, x_2}(\mathbf{z})\} + \frac{1}{2} \{u_{x_1, x_1}(\mathbf{z}) - u_{x_2, x_2}(\mathbf{z})\} \cos(2\theta) \\ &\quad + \frac{1}{2} \{u_{x_1, x_2}(\mathbf{z}) + u_{x_2, x_1}(\mathbf{z})\} \sin(2\theta) \end{aligned} \quad (4.76)$$

$$\begin{aligned} u_\theta^{(II)} &= -u_{\xi_1}^{(II)} \sin(\theta) + u_{\xi_2}^{(II)} \cos(\theta) \\ &= -\{u_{x_1, x_1}(\mathbf{z}) - u_{x_2, x_2}(\mathbf{z})\} \cos(\theta) \sin(\theta) - u_{x_1, x_2}(\mathbf{z}) \sin^2(\theta) + u_{x_2, x_1}(\mathbf{z}) \cos^2(\theta) \\ &= -\frac{1}{2} \{u_{x_1, x_2}(\mathbf{z}) - u_{x_2, x_1}(\mathbf{z})\} + \frac{1}{2} \{u_{x_1, x_2}(\mathbf{z}) + u_{x_2, x_1}(\mathbf{z})\} \cos(2\theta) \\ &\quad - \frac{1}{2} \{u_{x_1, x_1}(\mathbf{z}) - u_{x_2, x_2}(\mathbf{z})\} \sin(2\theta) \end{aligned} \quad (4.77)$$

また,  $\Gamma_\epsilon$  上の境界条件 (4.29) における応力ベクトル  $\mathbf{t}^{(II)}$  の  $\xi_1, \xi_2$  成分は次式になる.

$$\begin{aligned} t_{\xi_1}^{(II)} &= C_{1jkl}^a u_{k, l}(\mathbf{z}) n_j \\ &= \mu^a \left\{ \frac{\kappa^a + 1}{\kappa^a - 1} u_{x_1, x_1}(\mathbf{z}) + \frac{3 - \kappa^a}{\kappa^a - 1} u_{x_2, x_2}(\mathbf{z}) \right\} \cos(\theta) \\ &\quad + \mu^a \{u_{x_1, x_2}(\mathbf{z}) + u_{x_2, x_1}(\mathbf{z})\} \sin(\theta) \end{aligned} \quad (4.78)$$

$$\begin{aligned} t_{\xi_2}^{(II)} &= C_{2jkl}^a u_{k, l}(\mathbf{z}) n_j \\ &= \mu^a \{u_{x_1, x_2}(\mathbf{z}) + u_{x_2, x_1}(\mathbf{z})\} \cos(\theta) \\ &\quad + \mu^a \left\{ \frac{3 - \kappa^a}{\kappa^a - 1} u_{x_1, x_1}(\mathbf{z}) + \frac{\kappa^a + 1}{\kappa^a - 1} u_{x_2, x_2}(\mathbf{z}) \right\} \sin(\theta) \end{aligned} \quad (4.79)$$

ゆえに,  $t^{(II)}$  の  $r, \theta$  方向成分は以下のようになる.

$$\begin{aligned}
t_r^{(II)} &= t_{\xi_1}^{(II)} \cos(\theta) + t_{\xi_2}^{(II)} \sin(\theta) \\
&= \mu^a \left\{ \frac{\kappa^a + 1}{\kappa^a - 1} u_{x_1, x_1}(z) + \frac{3 - \kappa^a}{\kappa^a - 1} u_{x_2, x_2}(z) \right\} \cos^2(\theta) \\
&\quad + 2\mu^a \{ u_{x_1, x_2}(z) + u_{x_2, x_1}(z) \} \sin(\theta) \cos(\theta) \\
&\quad + \mu^a \left\{ \frac{3 - \kappa^a}{\kappa^a - 1} u_{x_1, x_1}(z) + \frac{\kappa^a + 1}{\kappa^a - 1} u_{x_2, x_2}(z) \right\} \sin^2(\theta) \\
&= \frac{2\mu^a}{\kappa^a - 1} \left\{ u_{x_1, x_1}(z) + u_{x_2, x_2}(z) \right\} \\
&\quad + \mu^a \{ u_{x_1, x_2}(z) + u_{x_2, x_1}(z) \} \sin(2\theta) \\
&\quad + \mu^a \{ u_{x_1, x_1}(z) + u_{x_2, x_2}(z) \} \cos(2\theta) \tag{4.80}
\end{aligned}$$

$$\begin{aligned}
t_\theta^{(II)} &= -t_{\xi_1}^{(II)} \sin(\theta) + t_{\xi_2}^{(II)} \cos(\theta) \\
&= -2\mu^a \{ u_{x_1, x_2}(z) - u_{x_2, x_1}(z) \} \cos(\theta) \sin(\theta) \\
&\quad + \mu^a \{ u_{x_1, x_2}(z) + u_{x_2, x_1}(z) \} (\cos^2(\theta) - \sin^2(\theta)) \\
&= -\mu^a \{ u_{x_1, x_2}(z) - u_{x_2, x_1}(z) \} \sin(2\theta) \\
&\quad + \mu^a \{ u_{x_1, x_2}(z) + u_{x_2, x_1}(z) \} \cos(2\theta) \tag{4.81}
\end{aligned}$$

$\Gamma_\epsilon$  上の変位および応力の境界条件 (4.28)(4.29) より次の4つの等式が得られる.

$$\begin{aligned}
\hat{w}_r^{(II-)} - \hat{w}_r^{(II+)} &= A_{01}^{*(II-)} (\kappa^b - 1) - \left( -A_{03}^{*(II+)} \right) \\
&\quad + \left\{ D_1^{*(II-)} + A_{11}^{*(II-)} (\kappa^b - 2) - \left( A_{14}^{*(II+)} \right) \right\} \cos(\theta) \\
&\quad + \left\{ D_2^{*(II-)} + B_{11}^{*(II-)} (\kappa^b - 2) - \left( B_{14}^{*(II+)} \right) \right\} \sin(\theta) \\
&\quad + \sum_{m=2}^{\infty} \left\{ A_{m1}^{*(II-)} (\kappa^b - m - 1) - A_{m3}^{*(II-)} m \right. \\
&\quad \quad \left. - \left( A_{m2}^{*(II+)} (\kappa^a + m - 1) + A_{m4}^{*(II+)} m \right) \right\} \cos(m\theta) \\
&\quad + \sum_{m=2}^{\infty} \left\{ B_{m1}^{*(II-)} (\kappa^b - m - 1) - B_{m3}^{*(II-)} m \right. \\
&\quad \quad \left. - \left( B_{m2}^{*(II+)} (\kappa^a + m - 1) + B_{m4}^{*(II+)} m \right) \right\} \sin(m\theta) \\
&= u_r^{(II)} \\
&= \frac{1}{2} \{ u_{x_1, x_1}(z) + u_{x_2, x_2}(z) \} + \frac{1}{2} \{ u_{x_1, x_1}(z) - u_{x_2, x_2}(z) \} \cos(2\theta) \\
&\quad + \frac{1}{2} \{ u_{x_1, x_2}(z) + u_{x_2, x_1}(z) \} \sin(2\theta) \tag{4.82}
\end{aligned}$$



$$\begin{aligned}
\hat{w}_\theta^{(II-)} - \hat{w}_\theta^{(II+)} &= D_3^{*(II-)} - \left( -A_{04}^{*(II+)} \right) \\
&\quad + \left\{ -D_1^{*(II-)} + A_{11}^{*(II-)}(\kappa^b + 2) - \left( A_{14}^{*(II+)} \right) \right\} \sin(\theta) \\
&\quad + \left\{ D_2^{*(II-)} - B_{11}^{*(II-)}(\kappa^b + 2) - \left( -B_{14}^{*(II+)} \right) \right\} \cos(\theta) \\
&\quad + \sum_{m=2}^{\infty} \left\{ A_{m1}^{*(II-)}(\kappa^b + m + 1) + A_{m3}^{*(II-)}m \right. \\
&\quad \quad \left. - \left( -A_{m2}^{*(II+)}(\kappa^a - m + 1) + A_{m4}^{*(II+)}m \right) \right\} \sin(m\theta) \\
&\quad + \sum_{m=2}^{\infty} \left\{ -B_{m1}^{*(II-)}(\kappa^b + m + 1) - B_{m3}^{*(II-)}m \right. \\
&\quad \quad \left. - \left( B_{m2}^{*(II+)}(\kappa^a - m + 1) - B_{m4}^{*(II+)}m \right) \right\} \cos(m\theta) \\
&= u_\theta^{(II)} \\
&= -\frac{1}{2} \left\{ u_{x_1, x_2}(\mathbf{z}) - u_{x_2, x_1}(\mathbf{z}) \right\} + \frac{1}{2} \left\{ u_{x_1, x_2}(\mathbf{z}) + u_{x_2, x_1}(\mathbf{z}) \right\} \cos(2\theta) \\
&\quad - \frac{1}{2} \left\{ u_{x_1, x_1}(\mathbf{z}) - u_{x_2, x_2}(\mathbf{z}) \right\} \sin(2\theta) \tag{4.83}
\end{aligned}$$

$$\begin{aligned}
\hat{\sigma}_{rr}^{(II-)} - \hat{\sigma}_{rr}^{(II+)} &= 2A_{01}^{(II-)} - \left( A_{03}^{(II+)} \right) \\
&\quad + \left\{ 2A_{11}^{(II-)} - \left( -2A_{14}^{(II+)} \right) \right\} \cos(\theta) \\
&\quad + \left\{ 2B_{11}^{(II-)} - \left( -2B_{14}^{(II+)} \right) \right\} \sin(\theta) \\
&\quad + \sum_{m=2}^{\infty} \left\{ -A_{m1}^{(II-)}(m+1)(m-2) - A_{m3}^{(II-)}m(m-1) \right. \\
&\quad \quad \left. - \left( -A_{m2}^{(II+)}(m+2)(m-1) - A_{m4}^{(II+)}m(m+1) \right) \right\} \cos(m\theta) \\
&\quad + \sum_{m=2}^{\infty} \left\{ -B_{m1}^{(II-)}(m+1)(m-2) - B_{m3}^{(II-)}m(m-1) \right. \\
&\quad \quad \left. - \left( -B_{m2}^{(II+)}(m+2)(m-1) - B_{m4}^{(II+)}m(m+1) \right) \right\} \sin(m\theta) \\
&= t_r^{(II)} \\
&= \frac{2\mu^a}{\kappa^a - 1} \left\{ u_{x_1, x_1}(\mathbf{z}) + u_{x_2, x_2}(\mathbf{z}) \right\} \\
&\quad + \mu^a \left\{ u_{x_1, x_2}(\mathbf{z}) + u_{x_2, x_1}(\mathbf{z}) \right\} \sin(2\theta) \\
&\quad + \mu^a \left\{ u_{x_1, x_1}(\mathbf{z}) - u_{x_2, x_2}(\mathbf{z}) \right\} \cos(2\theta) \tag{4.84}
\end{aligned}$$

$$\begin{aligned}
\hat{\sigma}_{r\theta}^{(II-)} - \hat{\sigma}_{r\theta}^{(II+)} &= -A_{04}^{(II+)} \\
&+ \left\{ 2A_{11}^{(II-)} - (-2A_{14}^{(II+)}) \right\} \sin(\theta) \\
&+ \left\{ -2B_{11}^{(II-)} - (2B_{14}^{(II+)}) \right\} \cos(\theta) \\
&+ \sum_{m=2}^{\infty} \left\{ A_{m1}^{(II-)} m(m+1) + A_{m3}^{(II-)} m(m-1) \right. \\
&\quad \left. - (-A_{m2}^{(II+)} m(m-1) - A_{m4}^{(II+)} m(m+1)) \right\} \cos(m\theta) \\
&+ \sum_{m=2}^{\infty} \left\{ -B_{m1}^{(II-)} m(m+1) - B_{m3}^{(II-)} m(m-1) \right. \\
&\quad \left. - (B_{m2}^{(II+)} m(m-1) + B_{m4}^{(II+)} m(m+1)) \right\} \sin(m\theta) \\
&= t_{\theta}^{(II)} \\
&= -\mu^a \{ u_{x_1, x_1}(\mathbf{z}) - u_{x_2, x_2}(\mathbf{z}) \} \sin(2\theta) \\
&\quad + \mu^a \{ u_{x_1, x_2}(\mathbf{z}) + u_{x_2, x_1}(\mathbf{z}) \} \cos(2\theta)
\end{aligned} \tag{4.85}$$

任意の  $0 \leq \pi \leq 2\pi$  に対して (4.82)~(4.85) が成立するためには,  
 $1, \cos(m\theta), \sin(m\theta) (m \geq 1)$  の係数が 0 である必要がある. ゆえに, 以下の連立方程式が得られる.

1 の係数:

$$\begin{pmatrix} \frac{1}{2\mu^b} & 0 & 0 & \frac{1}{2\mu^a} \\ 0 & \frac{\kappa^b - 1}{2\mu^b} & \frac{1}{2\mu^a} & 0 \\ 0 & \frac{2}{2\mu^b} & -1 & 0 \\ 0 & 0 & 0 & -1 \end{pmatrix} \begin{pmatrix} D_3^{(II-)} \\ A_{01}^{(II-)} \\ A_{03}^{(II+)} \\ A_{04}^{(II+)} \end{pmatrix} = \begin{pmatrix} -\frac{1}{2} \{ u_{x_1, x_2}(\mathbf{z}) - u_{x_2, x_1}(\mathbf{z}) \} \\ \frac{1}{2} \{ u_{x_1, x_1}(\mathbf{z}) + u_{x_2, x_2}(\mathbf{z}) \} \\ \frac{2\mu^a}{\kappa^a - 1} \{ u_{x_1, x_1}(\mathbf{z}) + u_{x_2, x_2}(\mathbf{z}) \} \\ 0 \end{pmatrix} \tag{4.86}$$

$\cos(\theta), \sin(\theta)$  の係数:

$$\begin{pmatrix} \frac{1}{2\mu^b} & \frac{\kappa^b - 2}{2\mu^b} & -\frac{1}{2\mu^a} \\ -\frac{1}{2\mu^b} & \frac{\kappa^b + 2}{2\mu^b} & -\frac{1}{2\mu^a} \\ 0 & \frac{2}{4} & \frac{1}{4} \end{pmatrix} \begin{pmatrix} D_1^{(II-)} \\ A_{11}^{(II-)} \\ A_{14}^{(II+)} \end{pmatrix} = \begin{pmatrix} 0 \\ 0 \\ 0 \end{pmatrix} \tag{4.87}$$

$$\begin{pmatrix} \frac{1}{2\mu^b} & \frac{\kappa^b - 2}{2\mu^b} & -\frac{1}{2\mu^a} \\ \frac{1}{2\mu^b} & -\frac{\kappa^b + 2}{2\mu^b} & \frac{1}{2\mu^a} \\ 0 & -\frac{2}{4} & -\frac{1}{4} \end{pmatrix} \begin{pmatrix} D_2^{(II-)} \\ B_{11}^{(II-)} \\ B_{14}^{(II+)} \end{pmatrix} = \begin{pmatrix} 0 \\ 0 \\ 0 \end{pmatrix} \tag{4.88}$$

$\cos(2\theta), \sin(2\theta)$  の係数 :

$$\begin{pmatrix} \frac{\kappa^b - 3}{2\mu^b} & -\frac{1}{\mu^b} & -\frac{\kappa^a + 1}{2\mu^a} & -\frac{1}{\mu^a} \\ \frac{\kappa^b + 3}{2\mu^b} & \frac{1}{\mu^b} & \frac{\kappa^a - 1}{2\mu^a} & -\frac{1}{\mu^a} \\ 0 & -2 & 4 & 6 \\ 6 & 2 & 2 & 6 \end{pmatrix} \begin{pmatrix} A_{21}^{(II-)} \\ A_{23}^{(II-)} \\ A_{22}^{(II+)} \\ A_{24}^{(II+)} \end{pmatrix} = \begin{pmatrix} \frac{1}{2}\{u_{x_1, x_1}(z) - u_{x_2, x_2}(z)\} \\ -\frac{1}{2}\{u_{x_1, x_1}(z) - u_{x_2, x_2}(z)\} \\ \mu^a\{u_{x_1, x_1}(z) - u_{x_2, x_2}(z)\} \\ -\mu^a\{u_{x_1, x_1}(z) - u_{x_2, x_2}(z)\} \end{pmatrix} \quad (4.89)$$

$$\begin{pmatrix} \frac{\kappa^b - 3}{2\mu^b} & -\frac{1}{\mu^b} & -\frac{\kappa^a + 1}{2\mu^a} & -\frac{1}{\mu^a} \\ -\frac{\kappa^b + 3}{2\mu^b} & -\frac{1}{\mu^b} & -\frac{\kappa^a - 1}{2\mu^a} & \frac{1}{\mu^a} \\ 0 & -2 & 4 & 6 \\ -6 & -2 & -2 & -6 \end{pmatrix} \begin{pmatrix} B_{21}^{(II-)} \\ B_{23}^{(II-)} \\ B_{22}^{(II+)} \\ B_{24}^{(II+)} \end{pmatrix} = \begin{pmatrix} \frac{1}{2}\{u_{x_1, x_2}(z) + u_{x_2, x_1}(z)\} \\ \frac{1}{2}\{u_{x_1, x_2}(z) + u_{x_2, x_1}(z)\} \\ \mu^a\{u_{x_1, x_2}(z) + u_{x_2, x_1}(z)\} \\ \mu^a\{u_{x_1, x_2}(z) + u_{x_2, x_1}(z)\} \end{pmatrix} \quad (4.90)$$

$\cos(m\theta), \sin(m\theta)$  の係数 ( $m \geq 3$ ) :

$$\begin{pmatrix} \frac{\kappa^b - m - 1}{2\mu^b} & -\frac{m}{2\mu^b} & -\frac{\kappa^a + m - 1}{2\mu^a} & -\frac{m}{2\mu^a} \\ \frac{\kappa^b + m + 1}{2\mu^b} & \frac{m}{2\mu^b} & \frac{\kappa^a - m + 1}{2\mu^a} & -\frac{m}{2\mu^a} \\ -(m+1)(m-2) & -m(m-1) & (m+2)(m-1) & m(m+1) \\ m(m+1) & m(m-1) & m(m-1) & m(m+1) \end{pmatrix} \begin{pmatrix} A_{m1}^{(II-)} \\ A_{m3}^{(II-)} \\ A_{m2}^{(II+)} \\ A_{m4}^{(II+)} \end{pmatrix} = \begin{pmatrix} 0 \\ 0 \\ 0 \\ 0 \end{pmatrix} \quad (4.91)$$

$$\begin{pmatrix} \frac{\kappa^b - m - 1}{2\mu^b} & -\frac{m}{2\mu^b} & -\frac{\kappa^a + m - 1}{2\mu^a} & -\frac{m}{2\mu^a} \\ -\frac{\kappa^b + m + 1}{2\mu^b} & -\frac{m}{2\mu^b} & -\frac{\kappa^a - m + 1}{2\mu^a} & \frac{m}{2\mu^a} \\ -(m+1)(m-2) & -m(m-1) & (m+2)(m-1) & m(m+1) \\ -m(m+1) & -m(m-1) & -m(m-1) & -m(m+1) \end{pmatrix} \begin{pmatrix} B_{m1}^{(II-)} \\ B_{m3}^{(II-)} \\ B_{m2}^{(II+)} \\ B_{m4}^{(II+)} \end{pmatrix} = \begin{pmatrix} 0 \\ 0 \\ 0 \\ 0 \end{pmatrix} \quad (4.92)$$

これらの連立方程式を解くと,

$$\begin{aligned}
D_1^{(II-)} &= 0, & D_2^{(II-)} &= 0, & D_3^{(II-)} &= -\mu^b \{u_{x_1, x_2}(z) - u_{x_2, x_1}(z)\} \\
A_{01}^{(II-)} &= \frac{\mu^a \mu^b (\kappa^a + 1)}{(\mu^a (\kappa^b - 1) + 2\mu^b)(\kappa^a - 1)} \{u_{x_1, x_1}(z) + u_{x_2, x_2}(z)\} \\
A_{03}^{(II+)} &= -\frac{2\mu^a \{\mu^a (\kappa^b - 1) - \mu^b (\kappa^a - 1)\}}{(\mu^a (\kappa^b - 1) + 2\mu^b)(\kappa^a - 1)} \{u_{x_1, x_1}(z) + u_{x_2, x_2}(z)\} \\
A_{04}^{(II+)} &= 0, & A_{21}^{(II-)} &= 0, & B_{21}^{(II-)} &= 0 \\
A_{23}^{(II-)} &= -\frac{\mu^a \mu^b (\kappa^a + 1)}{2(\mu^a + \kappa^a \mu^b)} \{u_{x_1, x_1}(z) - u_{x_2, x_2}(z)\} \\
A_{22}^{(II+)} &= \frac{\mu^a (\mu^a - \mu^b)}{\mu^a + \kappa^a \mu^b} \{u_{x_1, x_1}(z) - u_{x_2, x_2}(z)\} \\
A_{24}^{(II+)} &= -\frac{\mu^a (\mu^a - \mu^b)}{2(\mu^a + \kappa^a \mu^b)} \{u_{x_1, x_1}(z) - u_{x_2, x_2}(z)\} \\
B_{23}^{(II-)} &= -\frac{\mu^a \mu^b (\kappa^a + 1)}{2(\mu^a + \kappa^a \mu^b)} \{u_{x_1, x_2}(z) + u_{x_2, x_1}(z)\} \\
B_{22}^{(II+)} &= \frac{\mu^a (\mu^a - \mu^b)}{\mu^a + \kappa^a \mu^b} \{u_{x_1, x_2}(z) + u_{x_2, x_1}(z)\} \\
B_{24}^{(II+)} &= -\frac{\mu^a (\mu^a - \mu^b)}{2(\mu^a + \kappa^a \mu^b)} \{u_{x_1, x_2}(z) + u_{x_2, x_1}(z)\} \\
A_{ij}^{(II\pm)} &= 0, & B_{ij}^{(II\pm)} &= 0, & (i = 1, i \geq 3, 1 \leq j \leq 4) & \quad (4.93)
\end{aligned}$$

以上から,  $\hat{\mathbf{w}}^{(II-)}, \hat{\mathbf{w}}^{(II+)}$  は以下のように求まる.

$$\begin{aligned}\hat{w}_r^{(II-)} &= \frac{\mu^a(\kappa^b - 1)(\kappa^a + 1)}{2(\mu^a(\kappa^b - 1) + 2\mu^b)(\kappa^a - 1)} \{u_{x_1, x_1}(\mathbf{z}) + u_{x_2, x_2}(\mathbf{z})\}r \\ &\quad + \frac{\mu^a(\kappa^a + 1)}{2(\mu^a + \kappa^a \mu^b)} \{u_{x_1, x_1}(\mathbf{z}) - u_{x_2, x_2}(\mathbf{z})\}r \cos(2\theta) \\ &\quad + \frac{\mu^a(\kappa^a + 1)}{2(\mu^a + \kappa^a \mu^b)} \{u_{x_1, x_2}(\mathbf{z}) + u_{x_2, x_1}(\mathbf{z})\}r \sin(2\theta)\end{aligned}\quad (4.94)$$

$$\begin{aligned}\hat{w}_\theta^{(II-)} &= -\frac{1}{2} \{u_{x_1, x_2}(\mathbf{z}) - u_{x_2, x_1}(\mathbf{z})\}r \\ &\quad - \frac{\mu^a(\kappa^a + 1)}{2(\mu^a + \kappa^a \mu^b)} \{u_{x_1, x_1}(\mathbf{z}) - u_{x_2, x_2}(\mathbf{z})\}r \sin(2\theta) \\ &\quad + \frac{\mu^a(\kappa^a + 1)}{2(\mu^a + \kappa^a \mu^b)} \{u_{x_1, x_2}(\mathbf{z}) + u_{x_2, x_1}(\mathbf{z})\}r \cos(2\theta)\end{aligned}\quad (4.95)$$

$$\begin{aligned}\hat{w}_r^{(II+)} &= \frac{\mu^a(\kappa^b - 1) - \mu^b(\kappa^a - 1)}{(\mu^a(\kappa^b - 1) + 2\mu^b)(\kappa^a - 1)} \{u_{x_1, x_1}(\mathbf{z}) + u_{x_2, x_2}(\mathbf{z})\}r^{-1} \\ &\quad + \frac{\mu^a - \mu^b}{2(\mu^a + \kappa^a \mu^b)} \{u_{x_1, x_1}(\mathbf{z}) - u_{x_2, x_2}(\mathbf{z})\} \{(\kappa^a + 1)r^{-1} - r^{-3}\} \cos(2\theta) \\ &\quad + \frac{\mu^a - \mu^b}{2(\mu^a + \kappa^a \mu^b)} \{u_{x_1, x_2}(\mathbf{z}) + u_{x_2, x_1}(\mathbf{z})\} \{(\kappa^a + 1)r^{-1} - r^{-3}\} \sin(2\theta)\end{aligned}\quad (4.96)$$

$$\begin{aligned}\hat{w}_\theta^{(II+)} &= -\frac{\mu^a - \mu^b}{2(\mu^a + \kappa^a \mu^b)} \{u_{x_1, x_1}(\mathbf{z}) - u_{x_2, x_2}(\mathbf{z})\} \{(\kappa^a - 1)r^{-1} + r^{-3}\} \sin(2\theta) \\ &\quad + \frac{\mu^a - \mu^b}{2(\mu^a + \kappa^a \mu^b)} \{u_{x_1, x_2}(\mathbf{z}) + u_{x_2, x_1}(\mathbf{z})\} \{(\kappa^a - 1)r^{-1} + r^{-3}\} \cos(2\theta)\end{aligned}\quad (4.97)$$

## 第 5 章

# トポロジー導関数の導出

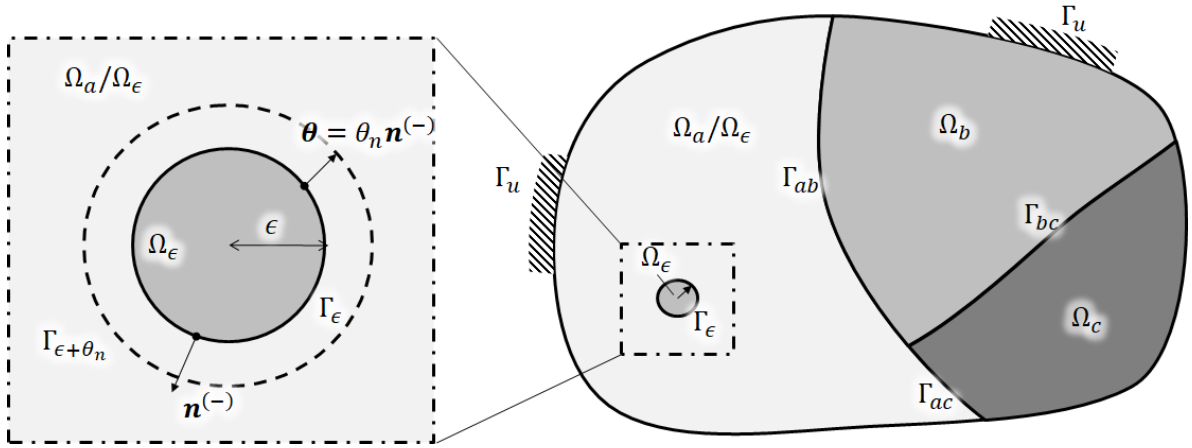


Fig.5.1 Shape derivative for computing the topological derivative

$\theta$  を次式のように設定する.

$$\theta = \theta_n \mathbf{n}^{(-)} \quad \text{on } \Gamma_\epsilon \quad (5.1)$$

$$\theta = 0 \quad \text{on } \Gamma/\Gamma_\epsilon \quad (5.2)$$

この時, 固有値  $\lambda$  の形状微分は, (3.33) に  $\mathbf{u} = \mathbf{u}^\epsilon, \lambda = \lambda^\epsilon$  を代入することで以下のように

なる.

$$\begin{aligned}
& D\lambda^{a \rightarrow b}(\Omega_{p\{1 \leq p \leq n\}}) \cdot \boldsymbol{\theta} \\
&= \int_{\Gamma_\epsilon} (\theta_n n_\gamma^{(-)} n_\gamma^{(-)}) \left( u_{i,j}^{\epsilon(-)} C_{ijkl}^b u_{k,l}^{\epsilon(-)} - \lambda^\epsilon \rho^b u_i^{\epsilon(-)} u_i^{\epsilon(-)} \right) d\Omega \\
&\quad + \int_{\Gamma_\epsilon} (\theta_n n_\gamma^{(-)} n_\gamma^{(+)}) \left( u_{i,j}^{\epsilon(+)} C_{ijkl}^a u_{k,l}^{\epsilon(+)} - \lambda^\epsilon \rho^a u_i^{\epsilon(+)} u_i^{\epsilon(+)} \right) d\Omega \\
&\quad - \int_{\Gamma_\epsilon} (\theta_n n_\gamma^{(-)} n_\gamma^{(-)}) \left( C_{ijkl}^b u_{k,l}^{\epsilon(-)} n_j^{(-)} - C_{ijkl}^a u_{k,l}^{\epsilon(+)} n_j^{(+)} \right) (u_{i,m}^{\epsilon(-)} n_m^{(-)} - u_{i,m}^{\epsilon(+)} n_m^{(-)}) d\Gamma \\
&= \theta_n \int_{\Gamma_\epsilon} \left( u_{i,j}^{\epsilon(-)} C_{ijkl}^b u_{k,l}^{\epsilon(-)} - \lambda^\epsilon \rho^b u_i^{\epsilon(-)} u_i^{\epsilon(-)} \right) d\Omega \\
&\quad - \theta_n \int_{\Gamma_\epsilon} \left( u_{i,j}^{\epsilon(+)} C_{ijkl}^a u_{k,l}^{\epsilon(+)} - \lambda^\epsilon \rho^a u_i^{\epsilon(+)} u_i^{\epsilon(+)} \right) d\Omega \\
&\quad - \theta_n \int_{\Gamma_\epsilon} \left( C_{ijkl}^b u_{k,l}^{\epsilon(-)} n_j^{(-)} + C_{ijkl}^a u_{k,l}^{\epsilon(+)} n_j^{(+)} \right) (u_{i,m}^{\epsilon(-)} n_m^{(-)} - u_{i,m}^{\epsilon(+)} n_m^{(-)}) d\Gamma \tag{5.3}
\end{aligned}$$

$$\begin{aligned}
&= \theta_n \int_{\Gamma_\epsilon} \left( e^{\epsilon(-)} : \sigma^{\epsilon(-)} - \lambda^\epsilon \rho^b |\mathbf{u}^{\epsilon(-)}|^2 \right) d\Omega - \theta_n \int_{\Gamma_\epsilon} \left( e^{\epsilon(+)} : \sigma^{\epsilon(+)} - \lambda^\epsilon \rho^a |\mathbf{u}^{\epsilon(+)}|^2 \right) d\Omega \\
&\quad - \theta_n \int_{\Gamma_\epsilon} \left\{ \left( t_i^{\epsilon(-)} + t_i^{\epsilon(+)} \right) \left( \frac{\partial u_i^{\epsilon(-)}}{\partial n} - \frac{\partial u_i^{\epsilon(+)}}{\partial n} \right) \right\} d\Gamma \tag{5.4}
\end{aligned}$$

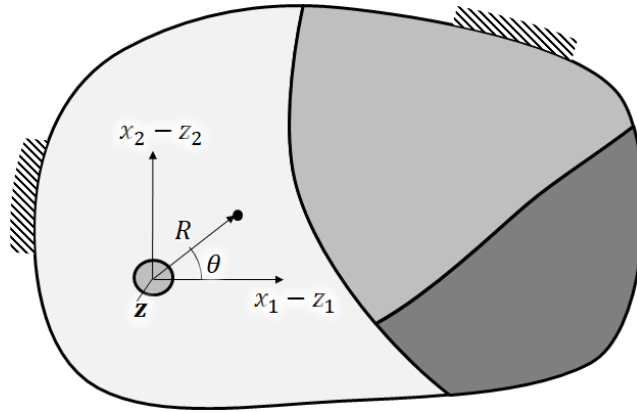


Fig.5.2  $(R, \theta)$  coordinate

ここで,

$$\begin{aligned}
x_1 - z_1 &= R \cos(\theta) \\
x_2 - z_2 &= R \sin(\theta) \tag{5.5}
\end{aligned}$$

と座標変換すると  $R, \theta$  方向の変位は以下のようになる.

$$\begin{aligned}
u_R^{\epsilon(-)}(r, \theta) &= \hat{w}_r^{(I-)}(\theta) + \epsilon \hat{w}_r^{(II-)}(r, \theta) + O(\epsilon^2) \\
u_\theta^{\epsilon(-)}(r, \theta) &= \hat{w}_\theta^{(I-)}(\theta) + \epsilon \hat{w}_\theta^{(II-)}(r, \theta) + O(\epsilon^2) \\
u_R^{\epsilon(+)}(R, r, \theta) &= u_{x_1}(\mathbf{x}) \cos(\theta) + u_{x_2}(\mathbf{x}) \sin(\theta) + \epsilon \hat{w}_r^{(II+)}(r, \theta) + O(\epsilon^2) \\
u_\theta^{\epsilon(+)}(R, r, \theta) &= -u_{x_1}(\mathbf{x}) \sin(\theta) + u_{x_2}(\mathbf{x}) \cos(\theta) + \epsilon \hat{w}_\theta^{(II+)}(r, \theta) + O(\epsilon^2)
\end{aligned} \tag{5.6}$$

$R = \epsilon r$  の関係から,

$$\frac{\partial}{\partial R} = \frac{1}{\epsilon} \frac{\partial}{\partial r} \tag{5.7}$$

であることに注意して歪みや応力を計算すると以下のようになる.

$$\begin{aligned}
e_{RR}^{\epsilon(-)} - e_{RR}^{\epsilon(+)} &= \frac{\partial u_R^{\epsilon(-)}}{\partial n} - \frac{\partial u_R^{\epsilon(+)}}{\partial n} \\
&= 2A \{ u_{x_1, x_1}(\mathbf{z}) + u_{x_2, x_2}(\mathbf{z}) \} \\
&\quad + (\kappa^a - 1)B \{ u_{x_1, x_1}(\mathbf{z}) - u_{x_2, x_2}(\mathbf{z}) \} \cos(2\theta) \\
&\quad + (\kappa^a - 1)B \{ u_{x_1, x_2}(\mathbf{z}) + u_{x_2, x_1}(\mathbf{z}) \} \sin(2\theta) + O(\epsilon) \\
2 \{ e_{R\theta}^{\epsilon(-)} - e_{R\theta}^{\epsilon(+)} \} &= \frac{\partial u_\theta^{\epsilon(-)}}{\partial n} - \frac{\partial u_\theta^{\epsilon(+)}}{\partial n} \\
&= - \{ u_{x_1, x_1}(\mathbf{z}) - u_{x_2, x_2}(\mathbf{z}) \} \\
&\quad - (\kappa^a + 1)B \{ u_{x_1, x_1}(\mathbf{z}) - u_{x_2, x_2}(\mathbf{z}) \} \cos(2\theta) \\
&\quad + (\kappa^a + 1)B \{ u_{x_1, x_2}(\mathbf{z}) + u_{x_2, x_1}(\mathbf{z}) \} \sin(2\theta) + O(\epsilon) \\
e_{\theta\theta}^{\epsilon(-)} - e_{\theta\theta}^{\epsilon(+)} &= \frac{(\kappa^b - 1)}{2} C \{ u_{x_1, x_1}(\mathbf{z}) + u_{x_2, x_2}(\mathbf{z}) \} \\
&\quad - \frac{D}{2} \{ u_{x_1, x_1}(\mathbf{z}) - u_{x_2, x_2}(\mathbf{z}) \} \cos(2\theta) \\
&\quad - \frac{D}{2} \{ u_{x_1, x_2}(\mathbf{z}) + u_{x_2, x_1}(\mathbf{z}) \} \sin(2\theta) + O(\epsilon) \\
\sigma_{RR}^{\epsilon(-)} - \sigma_{RR}^{\epsilon(+)} &= 2\mu^b C \{ u_{x_1, x_1}(\mathbf{z}) + u_{x_2, x_2}(\mathbf{z}) \} \\
&\quad + \mu^b D \{ u_{x_1, x_1}(\mathbf{z}) - u_{x_2, x_2}(\mathbf{z}) \} \cos(2\theta) \\
&\quad + \mu^b D \{ u_{x_1, x_2}(\mathbf{z}) + u_{x_2, x_1}(\mathbf{z}) \} \sin(2\theta) + O(\epsilon) \\
\sigma_{R\theta}^{\epsilon(-)} - \sigma_{R\theta}^{\epsilon(+)} &= -\mu^b D \{ u_{x_1, x_1}(\mathbf{z}) - u_{x_2, x_2}(\mathbf{z}) \} \cos(2\theta) \\
&\quad + \mu^b D \{ u_{x_1, x_2}(\mathbf{z}) + u_{x_2, x_1}(\mathbf{z}) \} \sin(2\theta) + O(\epsilon) \\
\sigma_{\theta\theta}^{\epsilon(-)} - \sigma_{\theta\theta}^{\epsilon(+)} &= -4\mu^a A \{ u_{x_1, x_1}(\mathbf{z}) + u_{x_2, x_2}(\mathbf{z}) \} \\
&\quad + 4\mu^a B \{ u_{x_1, x_1}(\mathbf{z}) - u_{x_2, x_2}(\mathbf{z}) \} \cos(2\theta) \\
&\quad + 4\mu^a B \{ u_{x_1, x_2}(\mathbf{z}) + u_{x_2, x_1}(\mathbf{z}) \} \sin(2\theta) + O(\epsilon)
\end{aligned} \tag{5.8}$$



ただし,

$$\begin{aligned}
A &= \frac{\mu^a(\kappa^b - 1) - \mu^b(\kappa^a - 1)}{(\mu^a(\kappa^b - 1) + 2\mu^b)(\kappa^a - 1)} \\
B &= \frac{\mu^a - \mu^b}{\mu^a + \kappa^a \mu^b} \\
C &= \frac{\mu^a(\kappa^a + 1)}{(\mu^a(\kappa^b - 1) + 2\mu^b)(\kappa^a - 1)} \\
D &= \frac{\mu^a(\kappa^a + 1)}{\mu^a + \kappa^a \mu^b}
\end{aligned} \tag{5.9}$$

とおいた. 式 (5.10) と  $\lambda^\epsilon = \lambda + O(\epsilon)$  を式 (5.9) に代入すると, 形状微分は以下のようになる

$$\begin{aligned}
& D\lambda^{a \rightarrow b}(\Omega_{p\{1 \leq p \leq n\}}) \cdot \boldsymbol{\theta} \\
&= \theta_n \epsilon \int_0^{2\pi} \left( \{e_{RR}^{\epsilon(-)} - e_{RR}^{\epsilon(+)}\} \sigma_{RR}^{\epsilon(-)} + 2\{e_{R\theta}^{\epsilon(-)} - e_{R\theta}^{\epsilon(+)}\} \sigma_{R\theta}^{\epsilon(-)} + e_{\theta\theta}^{\epsilon(-)} \{\sigma_{\theta\theta}^{\epsilon(-)} - \sigma_{\theta\theta}^{\epsilon(+)}\} \right) d\theta \\
&\quad - \theta_n \epsilon \int_0^{2\pi} \lambda^\epsilon \left( \rho^b |\mathbf{u}^{\epsilon(-)}|^2 - \rho^a |\mathbf{u}^{\epsilon(+)}|^2 \right) d\theta \\
&\quad - \theta_n \epsilon \int_0^{2\pi} \left( 2\{e_{RR}^{\epsilon(-)} - e_{RR}^{\epsilon(+)}\} \sigma_{RR}^{\epsilon(-)} + 4\{e_{R\theta}^{\epsilon(-)} - e_{R\theta}^{\epsilon(+)}\} \sigma_{R\theta}^{\epsilon(-)} \right) d\theta \\
&= \theta_n \epsilon \int_0^{2\pi} \left( -\{e_{RR}^{\epsilon(-)} - e_{RR}^{\epsilon(+)}\} \sigma_{RR}^{\epsilon(-)} - 2\{e_{R\theta}^{\epsilon(-)} - e_{R\theta}^{\epsilon(+)}\} \sigma_{R\theta}^{\epsilon(-)} + e_{\theta\theta}^{\epsilon(-)} \{\sigma_{\theta\theta}^{\epsilon(-)} - \sigma_{\theta\theta}^{\epsilon(+)}\} \right) d\theta \\
&\quad - \theta_n \epsilon \int_0^{2\pi} \lambda^\epsilon \left( \rho^b |\mathbf{u}^{\epsilon(-)}|^2 - \rho^a |\mathbf{u}^{\epsilon(+)}|^2 \right) d\theta \\
&= 2\pi \epsilon \theta_n \left[ -2\{\mu^a(\kappa^b - 1) + 2\mu^b\} AC \{u_{x_1, x_1}(\mathbf{z}) + u_{x_2, x_2}(\mathbf{z})\}^2 \right. \\
&\quad - (\mu^b \kappa^a + \mu^a) BD \{u_{x_1, x_1}(\mathbf{z}) - u_{x_2, x_2}(\mathbf{z})\}^2 \\
&\quad - (\mu^b \kappa^a + \mu^a) BD \{u_{x_1, x_2}(\mathbf{z}) + u_{x_2, x_1}(\mathbf{z})\}^2 \\
&\quad \left. - \lambda(\rho^b - \rho^a) |\mathbf{u}(\mathbf{z})|^2 \right] + O(\epsilon^2) \\
&= 2\pi \epsilon \theta_n \left[ -\frac{2\mu^a(\kappa^a + 1) \{ \mu^a(\kappa^b - 1) - \mu^b(\kappa^a - 1) \}}{(\mu^a(\kappa^b - 1) + 2\mu^b)(\kappa^a - 1)^2} \{u_{x_1, x_1}(\mathbf{z}) + u_{x_2, x_2}(\mathbf{z})\}^2 \right. \\
&\quad - \frac{\mu^a(\mu^a - \mu^b)(\kappa^a + 1)}{\mu^a + \kappa^a \mu^b} \{u_{x_1, x_1}(\mathbf{z}) - u_{x_2, x_2}(\mathbf{z})\}^2 \\
&\quad - \frac{\mu^a(\mu^a - \mu^b)(\kappa^a + 1)}{\mu^a + \kappa^a \mu^b} \{u_{x_1, x_2}(\mathbf{z}) + u_{x_2, x_1}(\mathbf{z})\}^2 \\
&\quad \left. - \lambda(\rho^b - \rho^a) |\mathbf{u}(\mathbf{z})|^2 \right] + O(\epsilon^2)
\end{aligned} \tag{5.10}$$

ゆえに, 式 (1.8) より, トポロジー導関数は以下のように導出される.

$$\begin{aligned}
D_T \lambda^{a \rightarrow b} &= \lim_{\epsilon \rightarrow 0} \frac{D \lambda^{a \rightarrow b} \cdot \boldsymbol{\theta}}{2\pi\epsilon\theta_n} \\
&= \frac{2\mu^a(\kappa^a + 1) \left\{ \mu^b(\kappa^a - 1) - \mu^a(\kappa^b - 1) \right\}}{(\mu^a(\kappa^b - 1) + 2\mu^b)(\kappa^a - 1)^2} \left\{ u_{x_1, x_1}(\mathbf{z}) + u_{x_2, x_2}(\mathbf{z}) \right\}^2 \\
&\quad + \frac{\mu^a(\mu^b - \mu^a)(\kappa^a + 1)}{\mu^a + \kappa^a \mu^b} \left\{ u_{x_1, x_1}(\mathbf{z}) - u_{x_2, x_2}(\mathbf{z}) \right\}^2 \\
&\quad + \frac{\mu^a(\mu^b - \mu^a)(\kappa^a + 1)}{\mu^a + \kappa^a \mu^b} \left\{ u_{x_1, x_2}(\mathbf{z}) + u_{x_2, x_1}(\mathbf{z}) \right\}^2 \\
&\quad - \lambda(\rho^b - \rho^a) |\mathbf{u}(\mathbf{z})|^2
\end{aligned} \tag{5.11}$$